



研究会「グローバルな宇宙天文観測」 テレスコープアレイ実験

東京大学宇宙線研究所 野中敏幸
Telescope Array Collaboration

観測対象

- 宇宙線エネルギースペクトル

$$J(E) \propto \sim E^{-3}$$

高エネルギーでは

地表で空気シャワー現象として観測される

~10TeV 付近以降の主な観測手段は
地上での空気シャワー観測

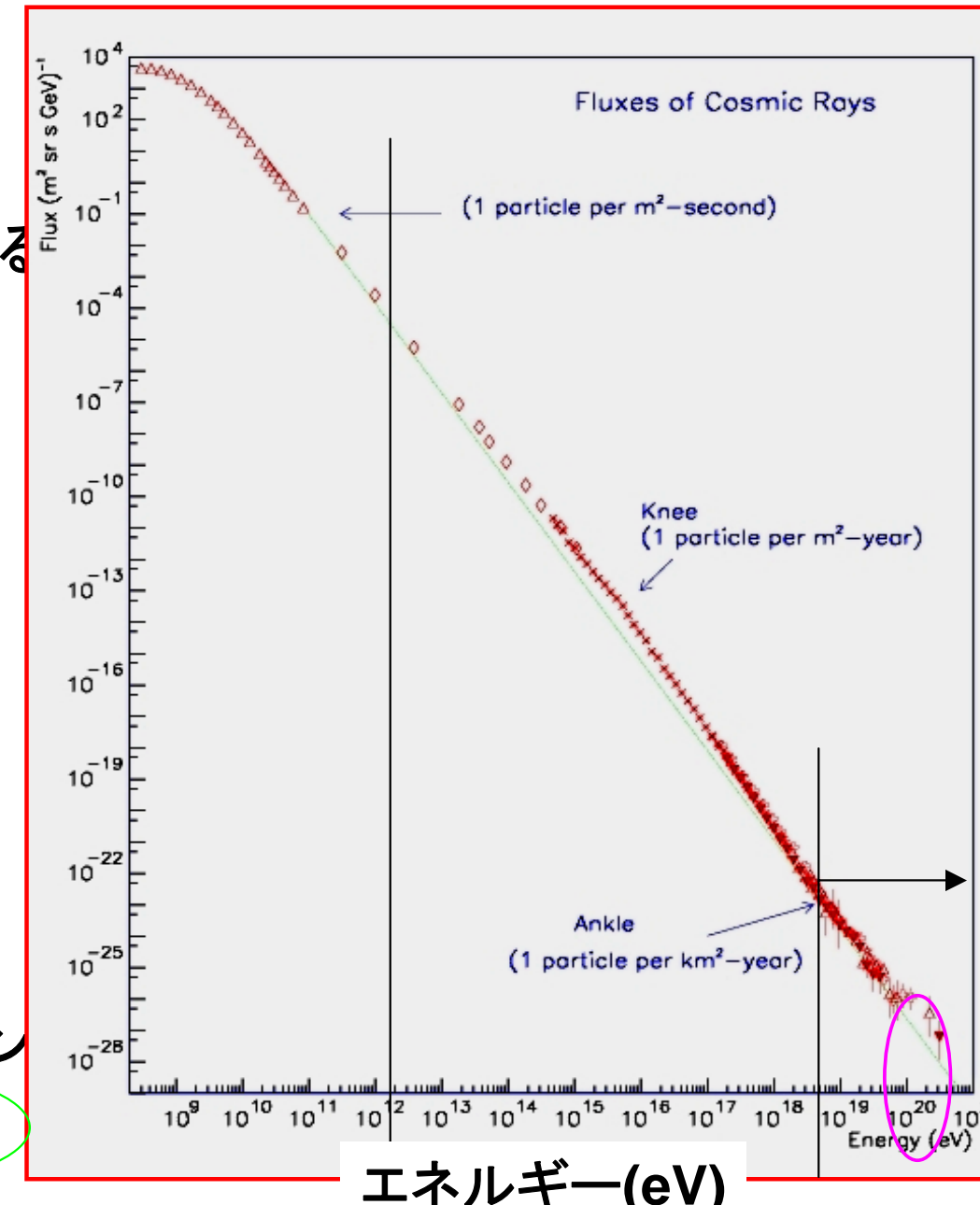
- 地表の粒子検出器アレイ
- 大気蛍光望遠鏡

最高エネルギー(~10¹⁹eV)に於いては
到来頻度が少なく装置は大広域

例:

Pierr Auger Observatory (アルゼンチン)

Telescope Array (米国ユタ州)



高山, 晴天率の高い気候 + 大規模 → 国際協力実験: グローバル ■

物理目標

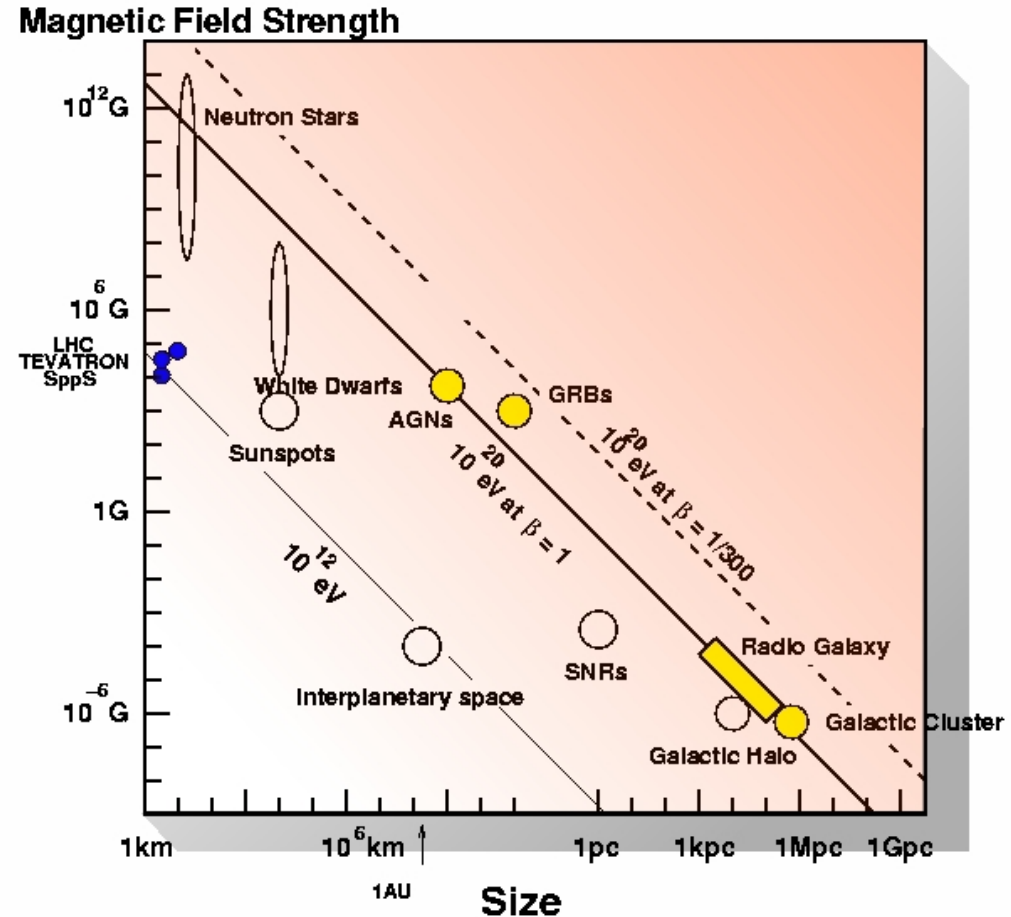
- 極高エネルギー粒子($\sim 10^{20}$ eV)の発生機構、(発生源)の特定

→ スペクトル、到来方向、化学組成から迫る

際立ったソース!? : 加速天体特定、
粒子線天文学可能性

銀河団等の
大規模構造との相関!? : 銀河間磁場強度
生成源密度
→ 加速天体種の推定

空気シャワー粒子の観測から、
陽子 Total cross section
→
超高エネルギー原子核相互作用のモデル制限



理論的に予想される加速天体候補

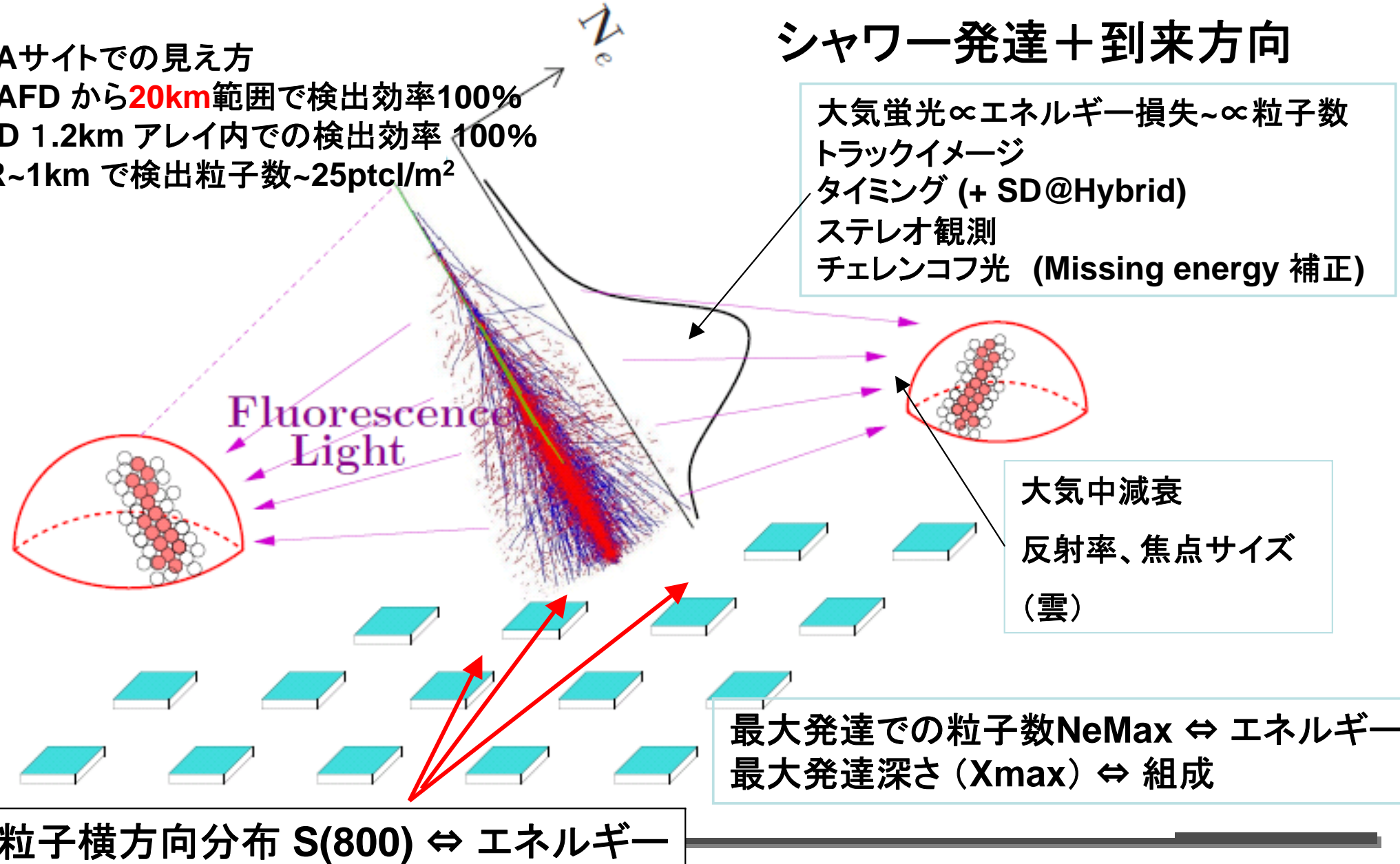
最高エネルギー領域での空気シャワー観測

典型的なシャワー:

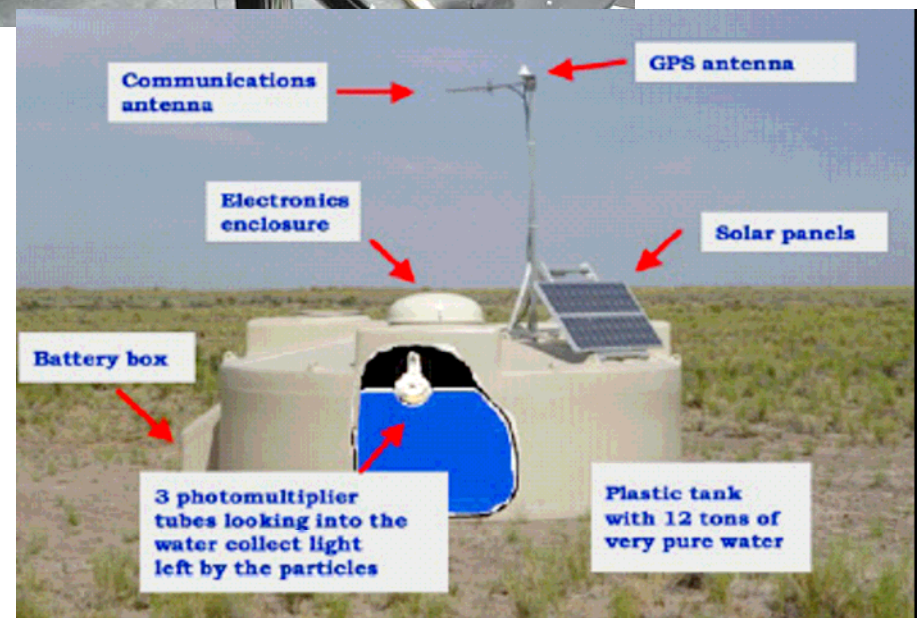
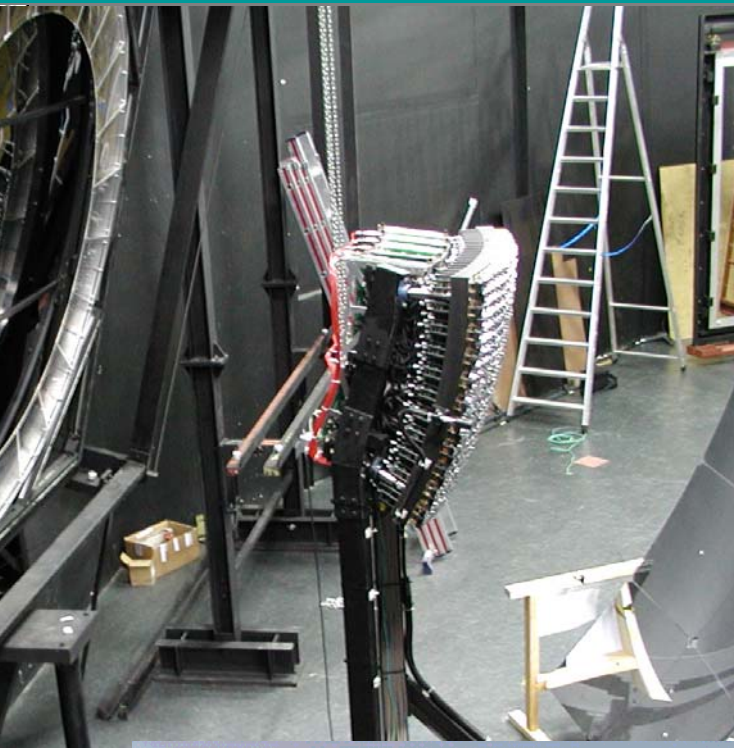
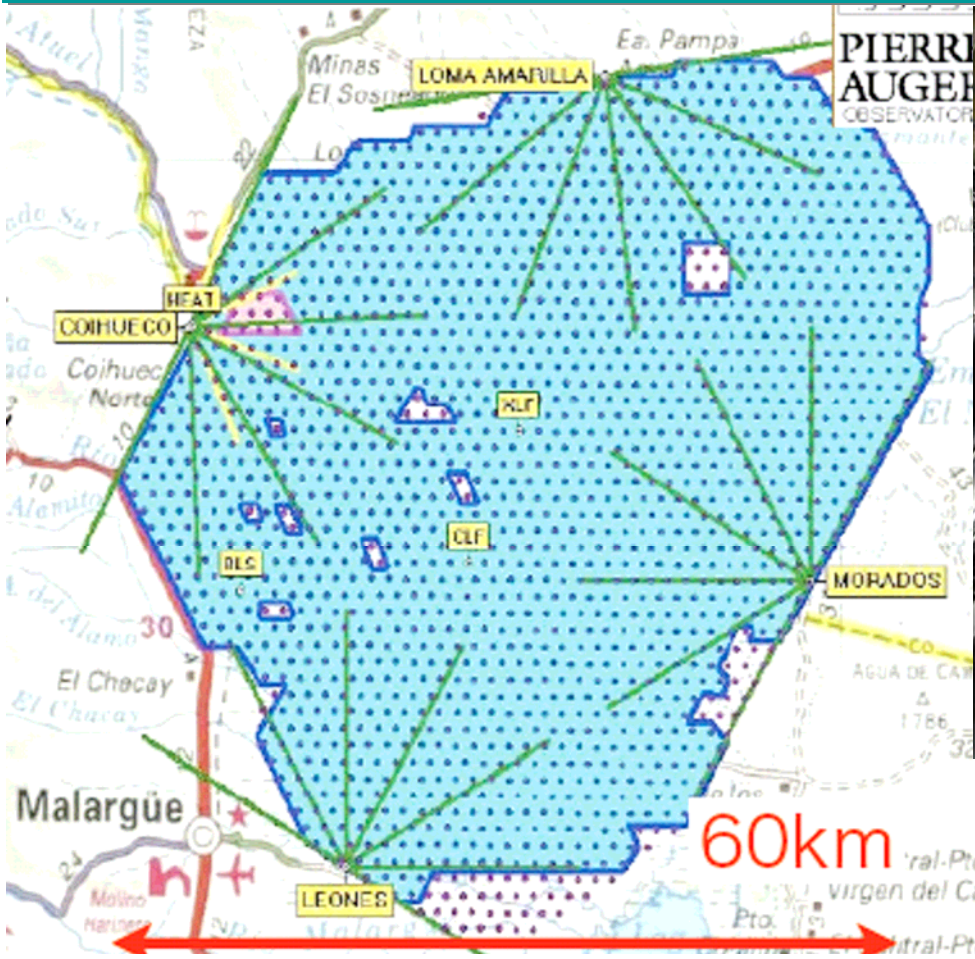
10^{19} eV 750g/cm^2 付近で最大発達

TAサイトでの見え方

TAFD から **20km** 範囲で検出効率 100%
SD 1.2km アレイ内での検出効率 100%
R~1km で検出粒子数~ $25\text{ptcl}/\text{m}^2$

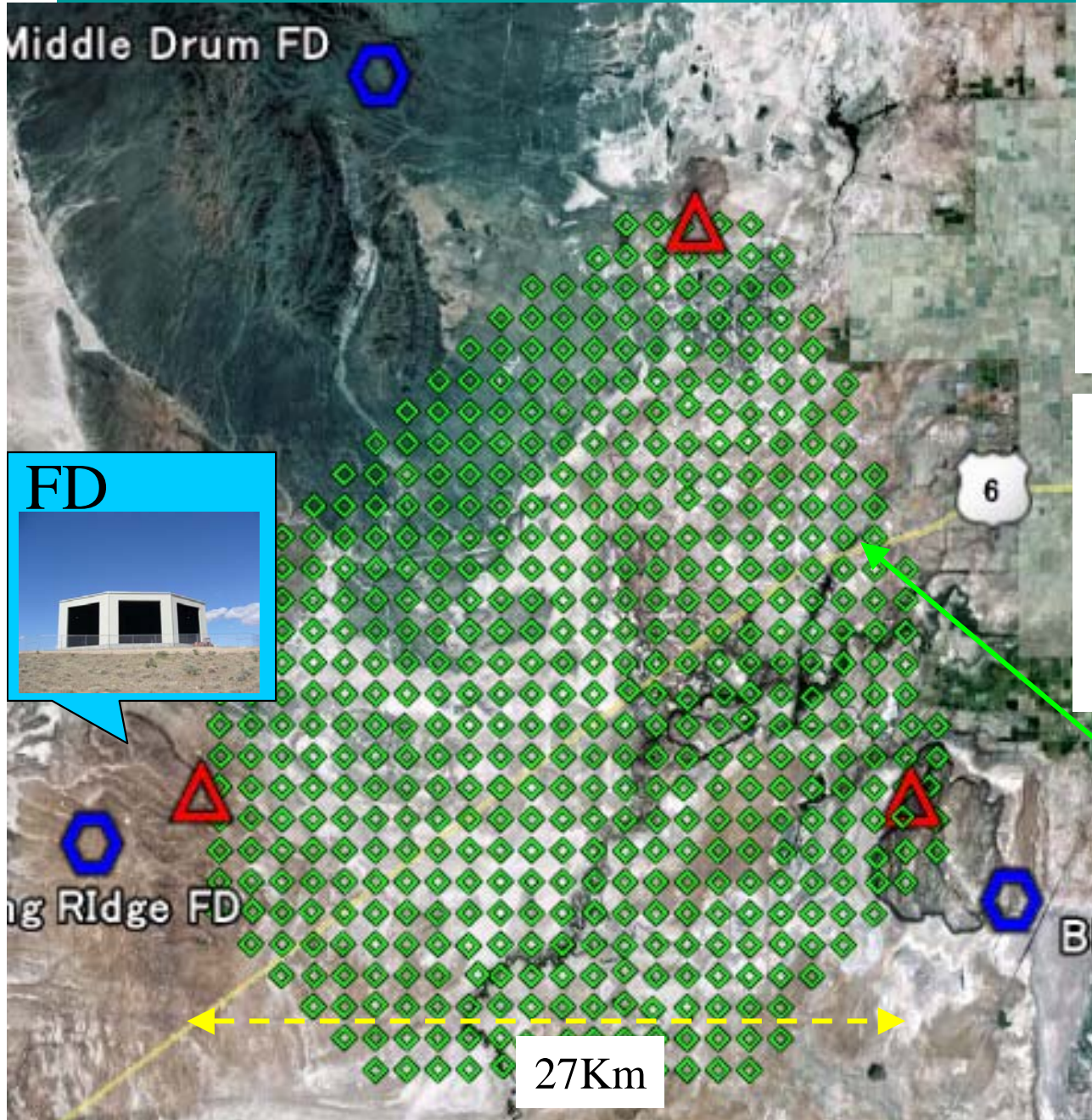


Pierre Auger Observatory



アルゼンチン(南半球) SD 1600基
1.5 km spacing
3000 km²
FD望遠鏡4サイト 24基

Telescope Array Experiment





Telescope Array Collaboration

T. Abu-Zayyad¹, R. Aida², M. Allen¹, T. Arai⁴, R. Azuma³, E. Barcikowski¹, J.W. Belz¹, T. Benno⁴, D.R. Bergman⁵, S.A. Blake¹, O. Brusova¹, R. Cady¹, B.G. Cheon⁶, J. Chiba⁷, M. Chikawa⁴, E.J. Cho⁶, L.S. Cho⁸, W.R. Cho⁸, F. Cohen⁹, K. Doura⁴, C. Ebeling¹, H. Fujii¹⁰, T. Fujii¹¹, T. Fukuda³, M. Fukushima⁹^{–22}, D. Gorbunov¹², W. Hanlon¹, K. Hayashi³, Y. Hayashi¹¹, N. Hayashida⁹, K. Hibino¹³, K. Hiyama⁹, K. Honda², G. Hughes⁵, T. Iguchi³, D. Ikeda⁹, K. Ikuta², S.J.J. Innemee⁵, N. Inoue¹⁴, T. Ishii², R. Ishimori³, D. Ivanov⁵, S. Iwamoto², C.C.H. Jui¹, K. Kadota¹⁵, F. Kakimoto³, O. Kalashev¹², T. Kanbe², H. Kang¹⁶, K. Kasahara¹⁷, H. Kawai¹⁸, S. Kawakami¹¹, S. Kawana¹⁴, E. Kido⁹, B.G. Kim¹⁹, H.B. Kim⁶, J.H. Kim⁶, J.H. Kim²⁰, A. Kitsugi⁹, K. Kobayashi⁷, H. Koers²¹, Y. Kondo⁹, V. Kuzmin¹², Y.J. Kwon⁸, J.H. Lim¹⁶, S.I. Lim¹⁹, S. Machida³, K. Martens²², J. Martineau¹, T. Matsuda¹⁰, T. Matsuyama¹¹, J.N. Matthews¹, M. Minamino¹¹, K. Miyata⁷, H. Miyauchi¹¹, Y. Murano³, T. Nakamura²³, S.W. Nam¹⁹, T. Nonaka⁹, S. Ogio¹¹, M. Ohnishi⁹, H. Ohoka⁹, T. Okuda¹¹, A. Oshima¹¹, S. Ozawa¹⁷, I.H. Park¹⁹, D. Rodriguez¹, S.Y. Roh²⁰, G. Rubtsov¹², D. Ryu²⁰, H. Sagawa⁹, N. Sakurai⁹, L.M. Scott⁵, P.D. Shah¹, T. Shibata⁹, H. Shimodaira⁹, B.K. Shin⁶, J.D. Smith¹, P. Sokolsky¹, T.J. Sonley¹, R.W. Springer¹, B.T. Stokes⁵, S.R. Stratton⁵, S. Suzuki¹⁰, Y. Takahashi⁹, M. Takeda⁹, A. Taketa⁹, M. Takita⁹, Y. Tameda³, H. Tanaka¹¹, K. Tanaka²⁴, M. Tanaka¹⁰, J.R. Thomas¹, S.B. Thomas¹, G.B. Thomson⁵, P. Tinyakov¹²^{–21}, I. Tkachev¹², H. Tokuno⁹, T. Tomida², R. Torii⁹, S. Troitsky¹², Y. Tsunesada³, Y. Tsuyuguchi², Y. Uchihori²⁵, S. Udo¹³, H. Ukai², B. Van Klaveren¹, Y. Wada¹⁴, M. Wood¹, T. Yamakawa⁹, Y. Yamakawa⁹, H. Yamaoka¹⁰, J. Yang¹⁹, S. Yoshida¹⁸, H. Yoshii²⁶, Z. Zundel¹

¹University of Utah, High Energy Astrophysics Institute, Salt Lake City, Utah, USA

²University of Yamanashi, Interdisciplinary Graduate School of Medicine and Engineering, Kofu, Yamanashi, Japan

³Tokyo Institute of Technology, Meguro, Tokyo, Japan

⁴Kinki University, Higashi Osaka, Osaka, Japan

⁵Rutgers University, Piscataway, USA

⁶Hanyang University, Seongdong-gu, Seoul, Korea

⁷Tokyo University of Science, Noda, Chiba, Japan

⁸Yonsei University, Seodaemun-gu, Seoul, Korea

⁹Institute for Cosmic Ray Research, University of Tokyo, Kashiwa, Chiba, Japan

¹⁰Institute of Particle and Nuclear Studies, KEK, Tsukuba, Ibaraki, Japan

¹¹Osaka City University, Osaka, Osaka, Japan

¹²Institute for Nuclear Research of the Russian Academy of Sciences, Moscow, Russia

¹³Kanagawa University, Yokohama, Kanagawa, Japan

¹⁴Saitama University, Saitama, Saitama, Japan

¹⁵Tokyo City University, Setagaya-ku, Tokyo, Japan

¹⁶Pusan National University, GeumJeong-gu, Busan, Korea

¹⁷Waseda University, Advanced Research Institute for Science and Engineering, Shinjuku-ku, Tokyo, Japan

¹⁸Chiba University, Chiba, Chiba, Japan

¹⁹Ewha Womans University, Seodaemun-gu, Seoul, Korea

²⁰Chungnam National University, Yuseong-gu, Daejeon, Korea

²¹University Libre de Bruxelles, Brussels, Belgium

²²University of Tokyo, Institute for the Physics and Mathematics of the Universe, Kashiwa, Chiba, Japan

²³Kochi University, Kochi, Kochi, Japan

²⁴Hiroshima City University, Hiroshima, Hiroshima, Japan

²⁵National Institute of Radiological Science, Chiba, Chiba, Japan

²⁶Ehime University, Matsuyama, Ehime, Japan



Telescope Array Collaboration

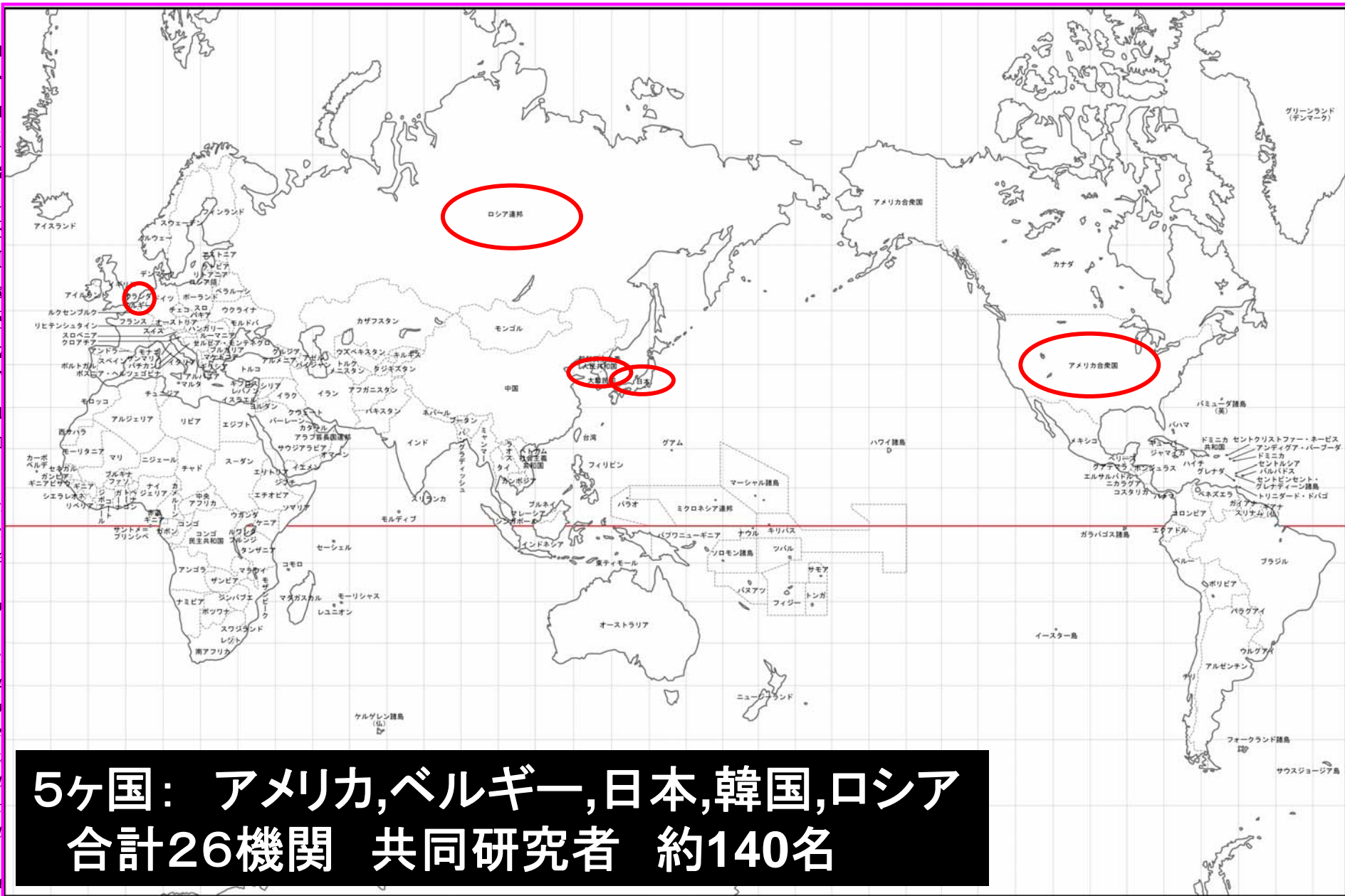
T. Abe
O. Br
H. Fu
K. Hi
S. Iwa
S. Ka
Y.J. I
M. Ma
T. Ok
P.D. S
S. Su
S.B.T
Tsuyu
J. Ya

*1University of
2University of
Engineering
Japan
3Tokyo
4Kinki
5Rutgers
6Hanyang
7Tokyo
8Yonsei
9Institute
10Institute
11Osaka
12Institute
Russia
13Kanagawa*

pino¹³,
i¹¹,
i¹²,
9,
Scott⁵,
ton⁵,
,

ring,
erse,

5ヶ国： アメリカ,ベルギー,日本,韓国,ロシア
合計26機関 共同研究者 約140名



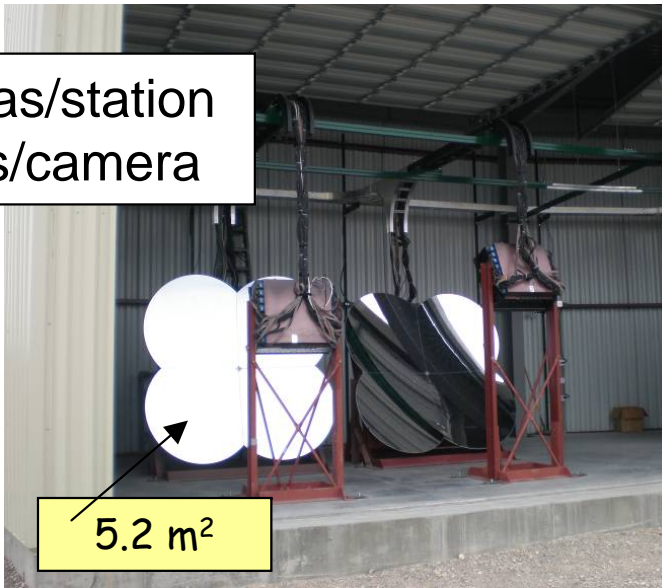
大気蛍光望遠鏡

From HiRes

Middle Drum

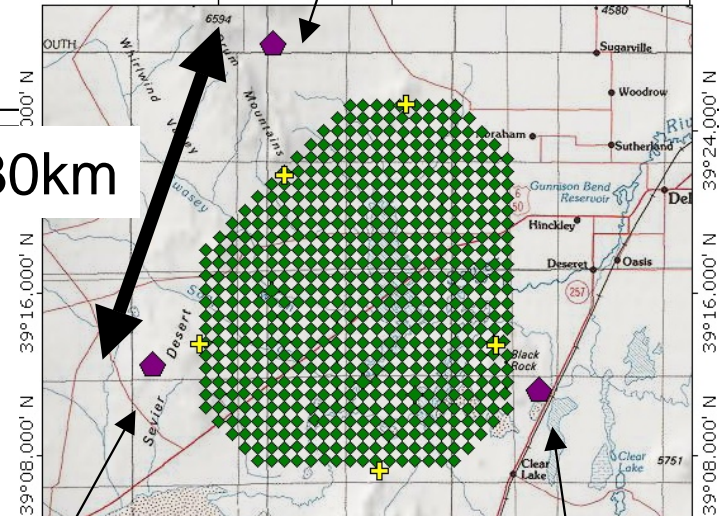


14 cameras/station
256 PMTs/camera



5.2 m²

TOPO! map printed on 07/12/04 from "StakeJun04-01.tpo" and "Untitled.tpg"
113°03.000' W 112°52.000' W NAD27 112°33.000' W



Long Ridge

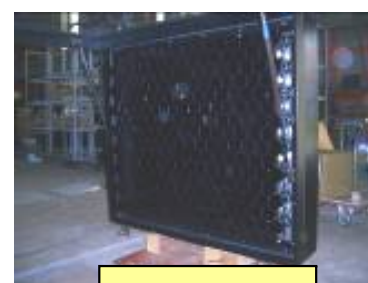


Black Rock Mesa



New FDs

256 PMTs/camera
HAMAMATSU R9508
FOV~15x18deg
12 cameras/station



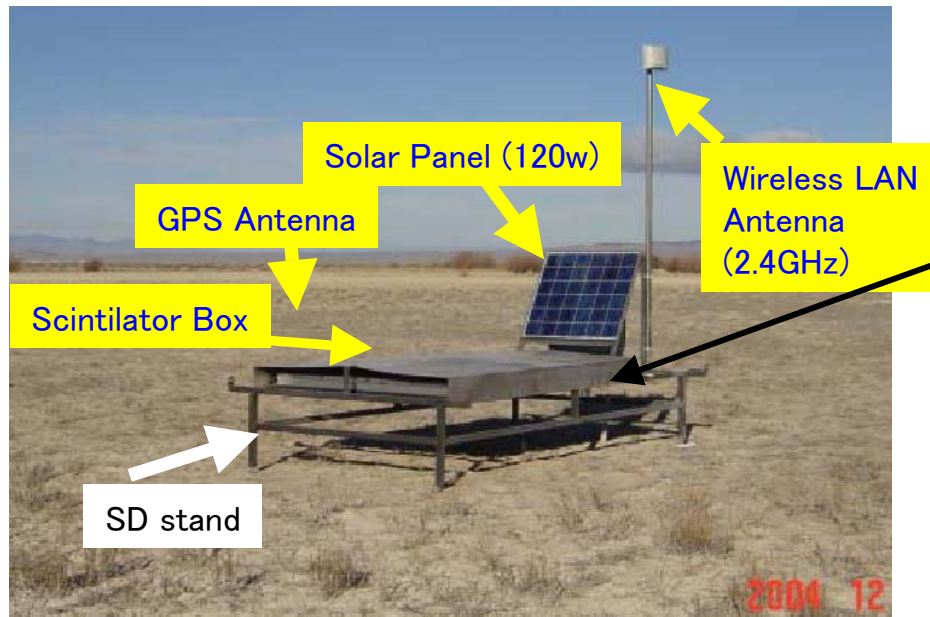
~1 m²



6.8 m²

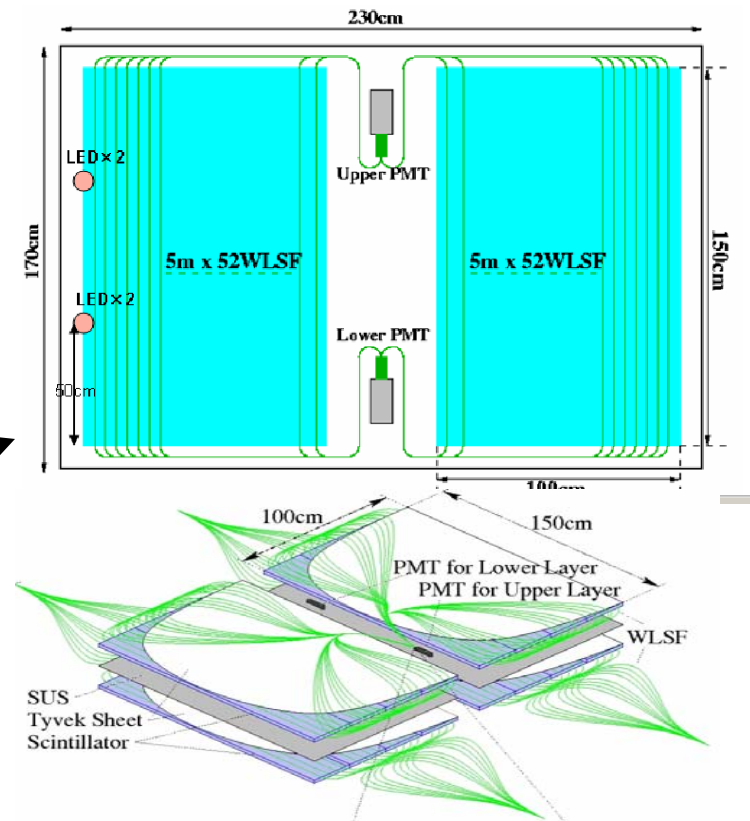
9

地表粒子検出器



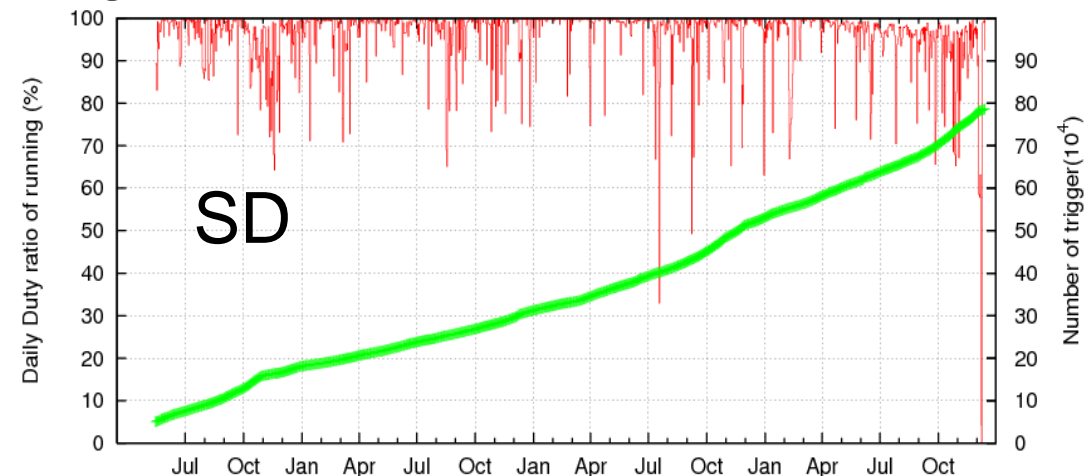
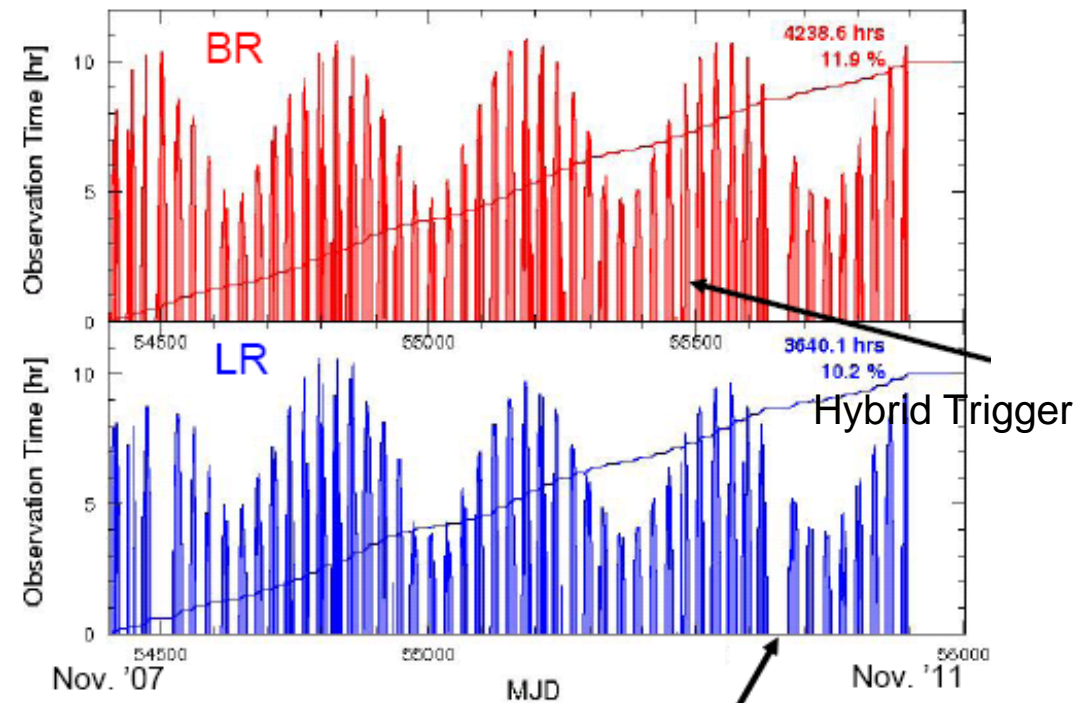
- Solar cell+ Battery
- Wireless LAN (2.4GHz) communication
- GPS 1pps pulse are common clock for SDs.
- 50Msps FADC recording

- Scintillator :
2layer of $3m^2 \times 1.2cm$ (t)
- WLF read out of scintillation light
- PMT: 2 × “ETL 9124SA”
- Power Base:
2 × “ETL PS1806-2”
- Temperature /Humidity sensors.



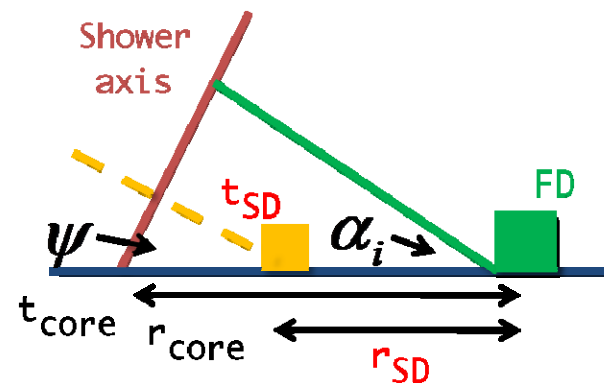
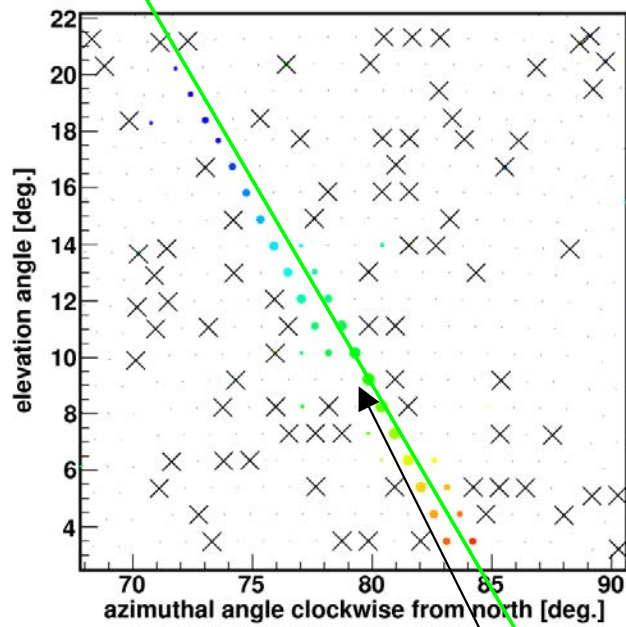
動作状況

- ◆ FD full observation 2007 Dec～
- ◆ SD full observation Mar.2008～
→ $\sim 700\text{km}^2$ 検出面積
 $\theta_{\text{zenith}} < 45^\circ$ ~100% efficiency at $E > 10^{18.9}\text{eV}$
- ◆ Cross boundary Trigger Nov.2008
- ◆ Hybrid Trigger Sep.2010
- ◆ Monitoring
 - SD : 1MIP gain , 10min 每
 - Linearity calibration by LED
 - Continuous monitor.
- FD : Atmospheric monitoring, PMT Gain monitoring
with Xenon light source, YAP pulser.
- ◆ 動作安定性
 - SD: Running >95% of duty cycle
>98% of counter is fine.
 - FD: ~ 7% of duty cycle,
→ Hybrid exposure $\sim 2.0 \times \text{AGASA}$ @2012

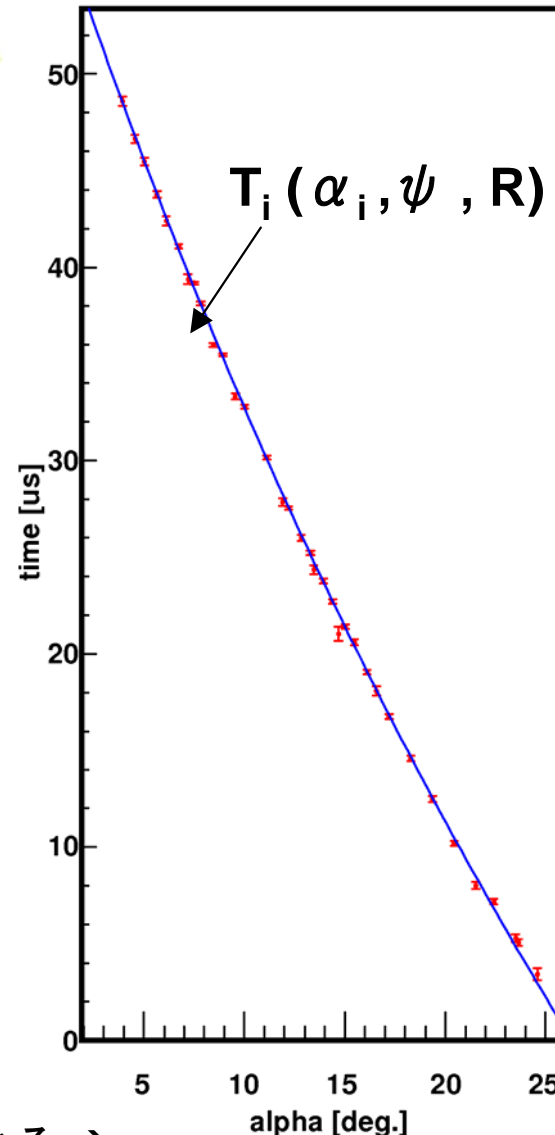


FD 再構成

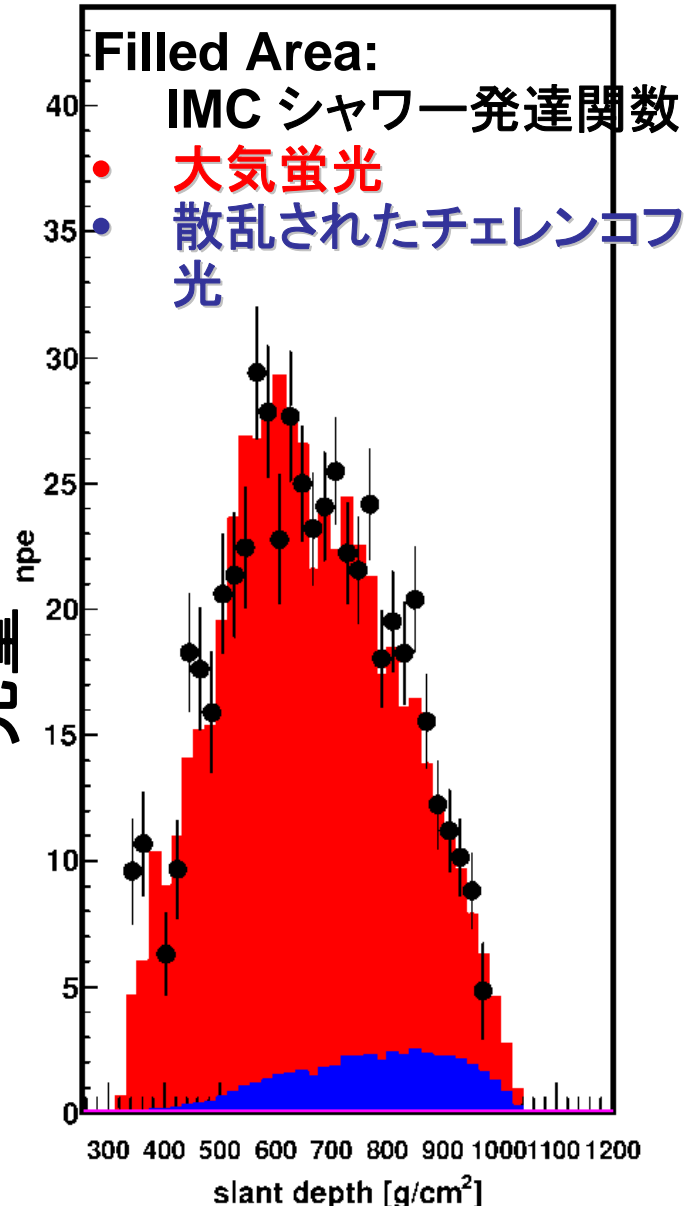
到来方向、コア位置推定



SDの時刻情報を用いる →
 ψ 、軸距離の決定精度向上 (Hybrid 解析)

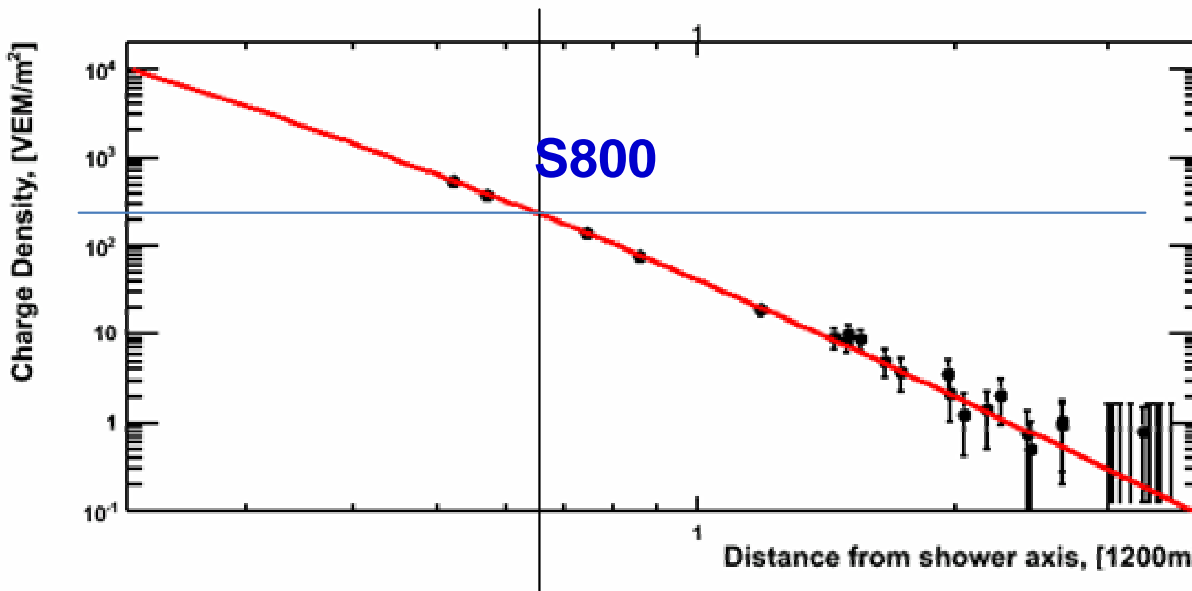
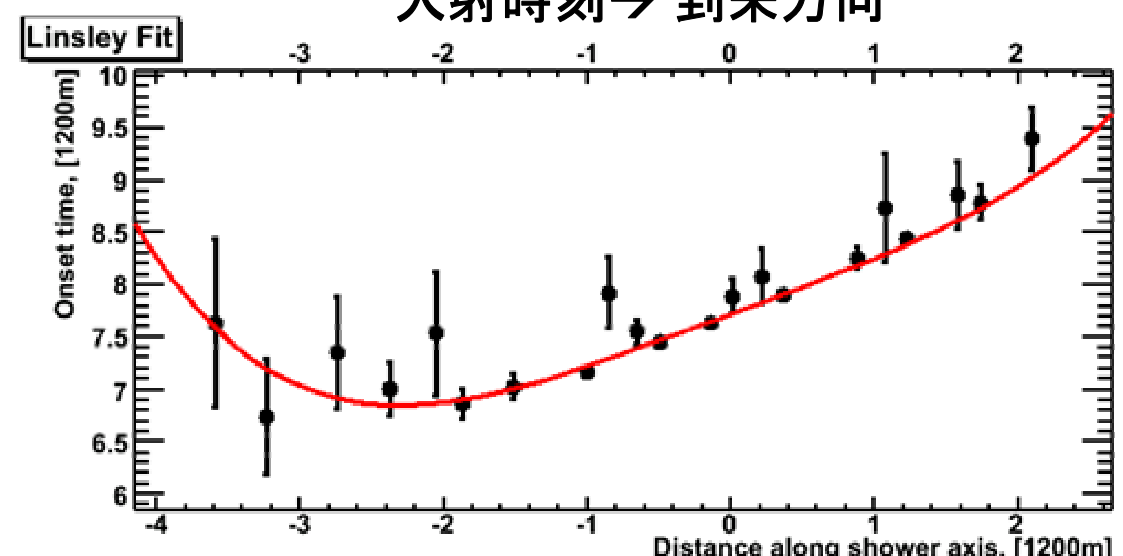
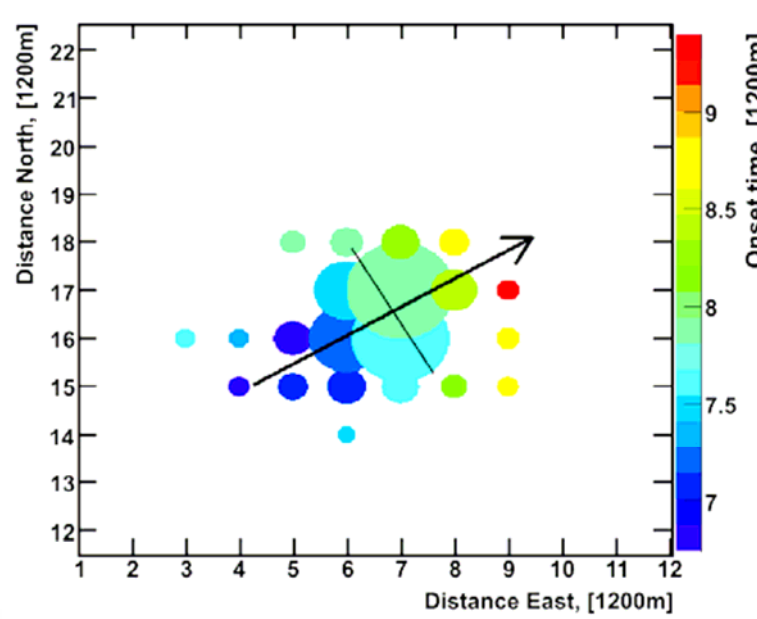


エネルギー推定



SD 再構成

2008/Jun/25 - 19:45:52.588670 UTC



S800 横分布の予想曲線とデータの
フィットで求める

$$\rho(r) \propto \left(\frac{r}{R_M}\right)^{-1.2} \left(1 + \frac{r}{R_M}\right)^{-(\eta-1.2)} \left\{1 + \left(\frac{r}{1000}\right)^2\right\}^{-0.6}$$

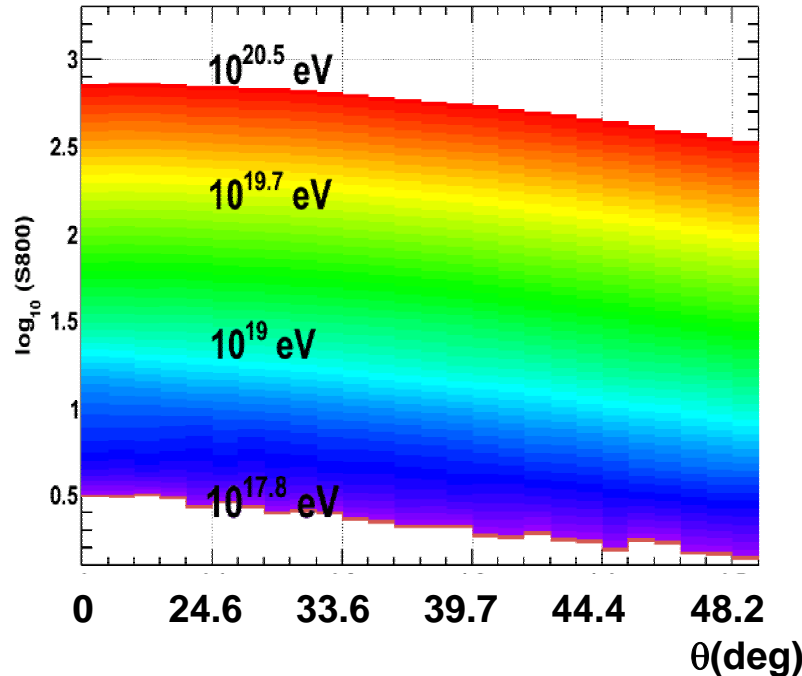
$$\eta = (3.97 \pm 0.13) - (1.79 \pm 0.62) (\sec \theta - 1)$$

$S(800) \rightarrow (\text{Primary Energy})$

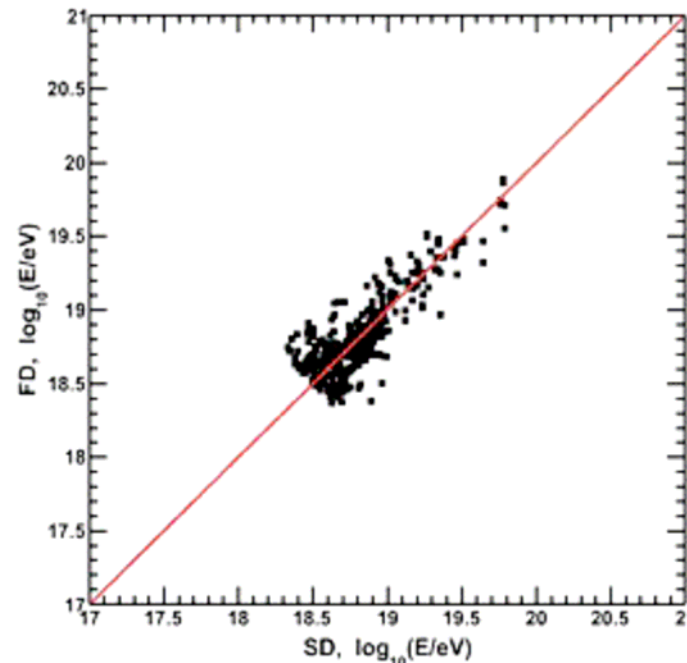
$r = 800m$

SDエネルギー スケール較正

MCで得られた S_{800} -Energy 対応表



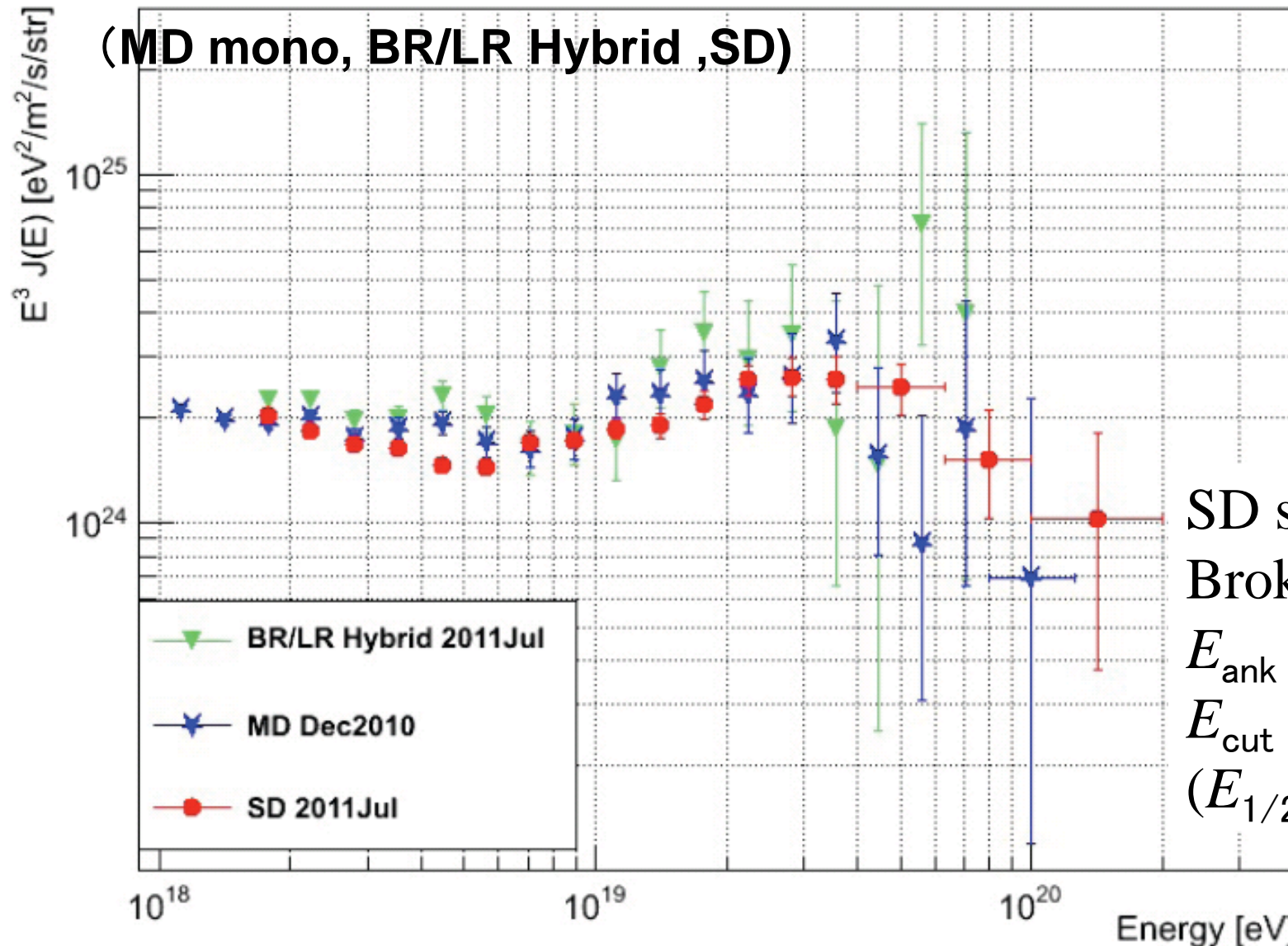
$$E_{\text{SD}}^* / E_{\text{FD}} = 1.27$$



FD(hybrid)で得られたエネルギーで、
SDでのエネルギーを較正

$$E_{\text{SD}} = E_{\text{SD}}^* / 1.27$$

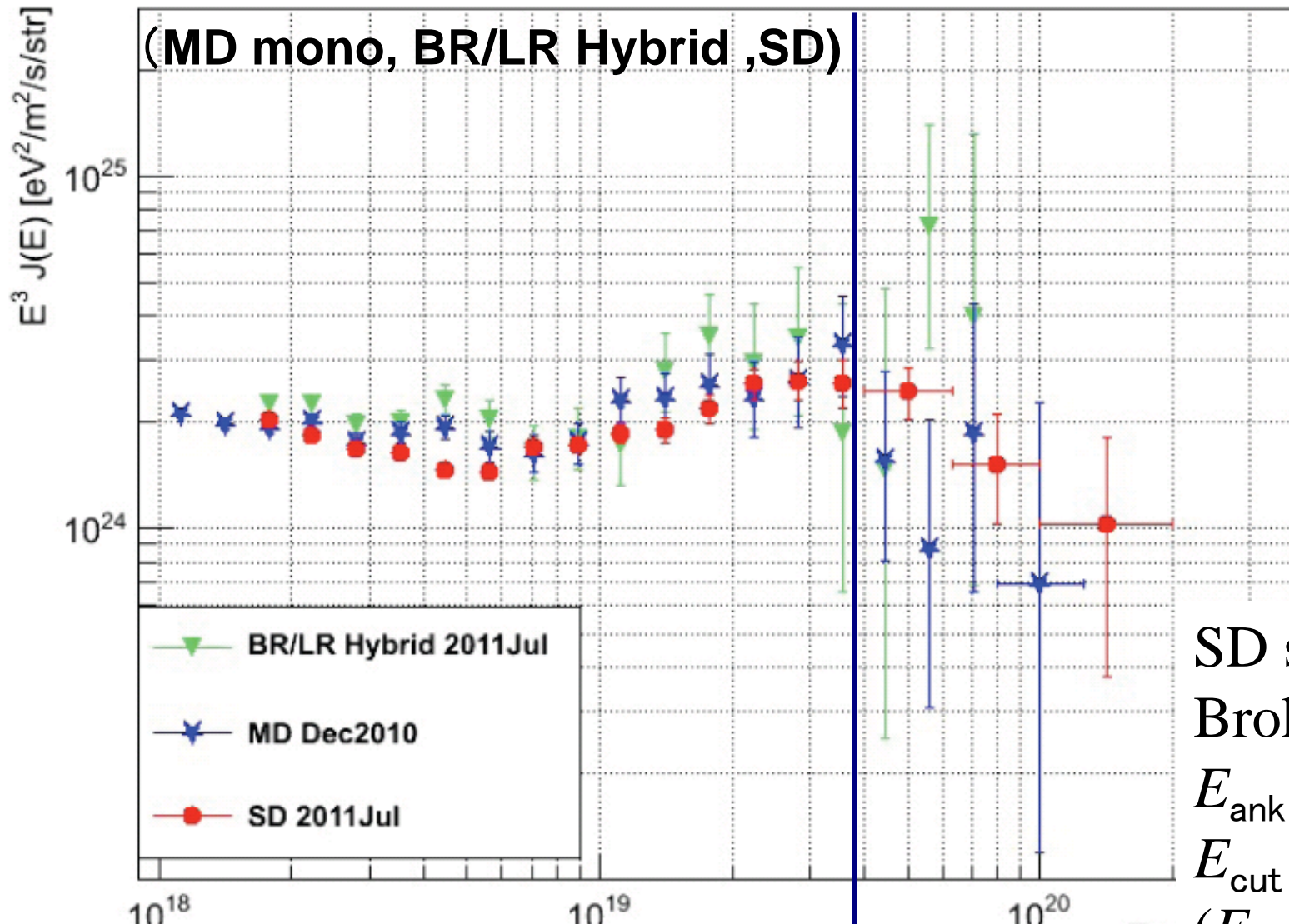
エネルギースペクトル



SD spectrum
Broken power-law fit
 $E_{\text{ank}} = 10^{18.69} \text{ eV}$
 $E_{\text{cut}} = 10^{19.68} \text{ eV}$
($E_{1/2} = 10^{19.69} \text{ eV}$)

D. Ikeda et.al ICRC2011 HE1.3 ID1264
D.Ivanov et.al ICRC2011 HE1.3 ID1297
Y.Tsunesada ICRC2011 HL talk

エネルギースペクトル



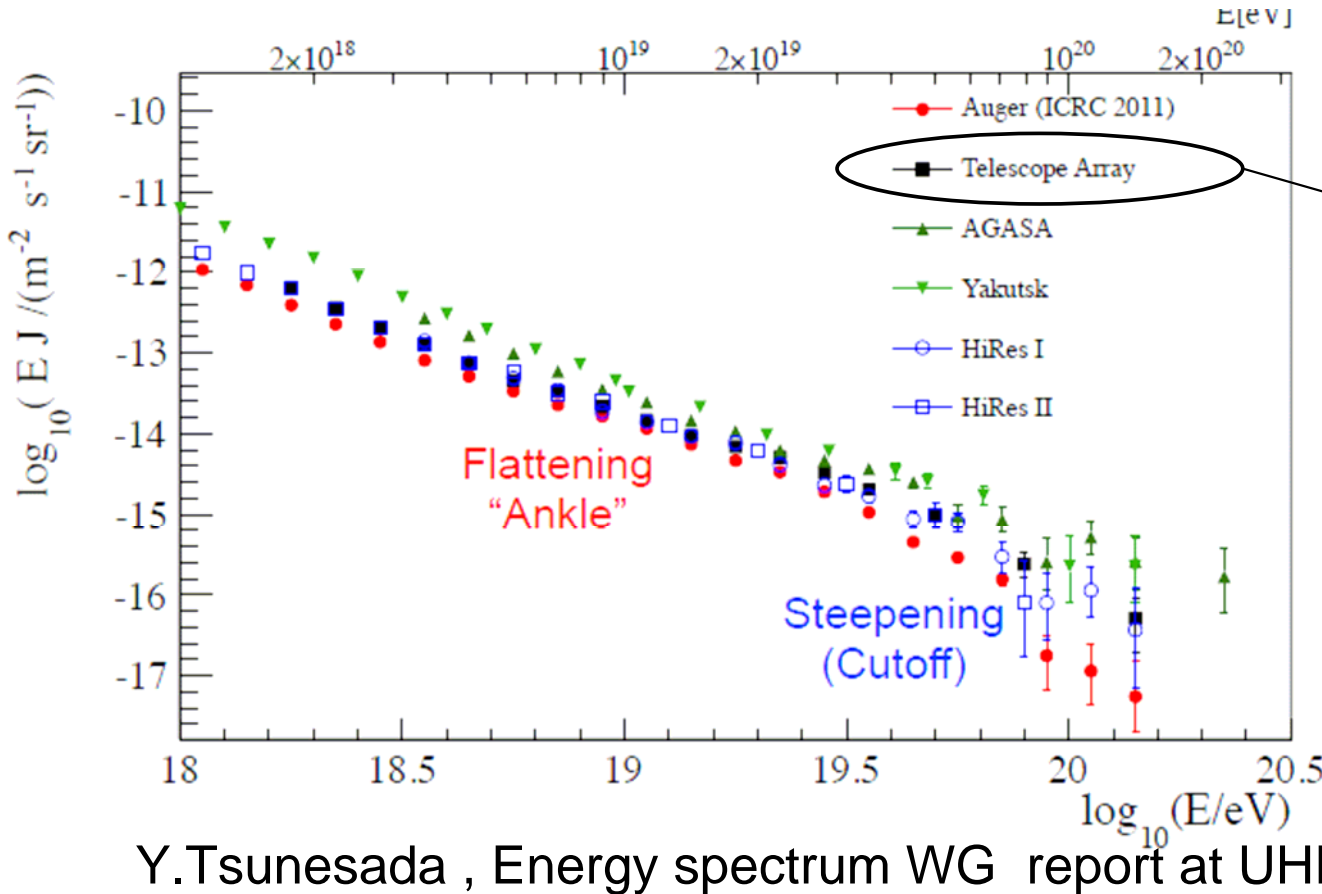
TA
 $N_{\text{exp}}=54.9$
 $N_{\text{obs}}=28$
 $\rightarrow 3.9\sigma$

SD spectrum
Broken power-law fit
 $E_{\text{ank}} = 10^{18.69} \text{ eV}$
 $E_{\text{cut}} = 10^{19.68} \text{ eV}$
 $E_{1/2} = 10^{19.69} \text{ eV}$

D. Ikeda et.al ICRC2011 HE1.3 ID1264
D.Ivanov et.al ICRC2011 HE1.3 ID1297
Y.Tsunesada ICRC2011 HL talk

エネルギースペクトル

(他実験との比較)



系統誤差

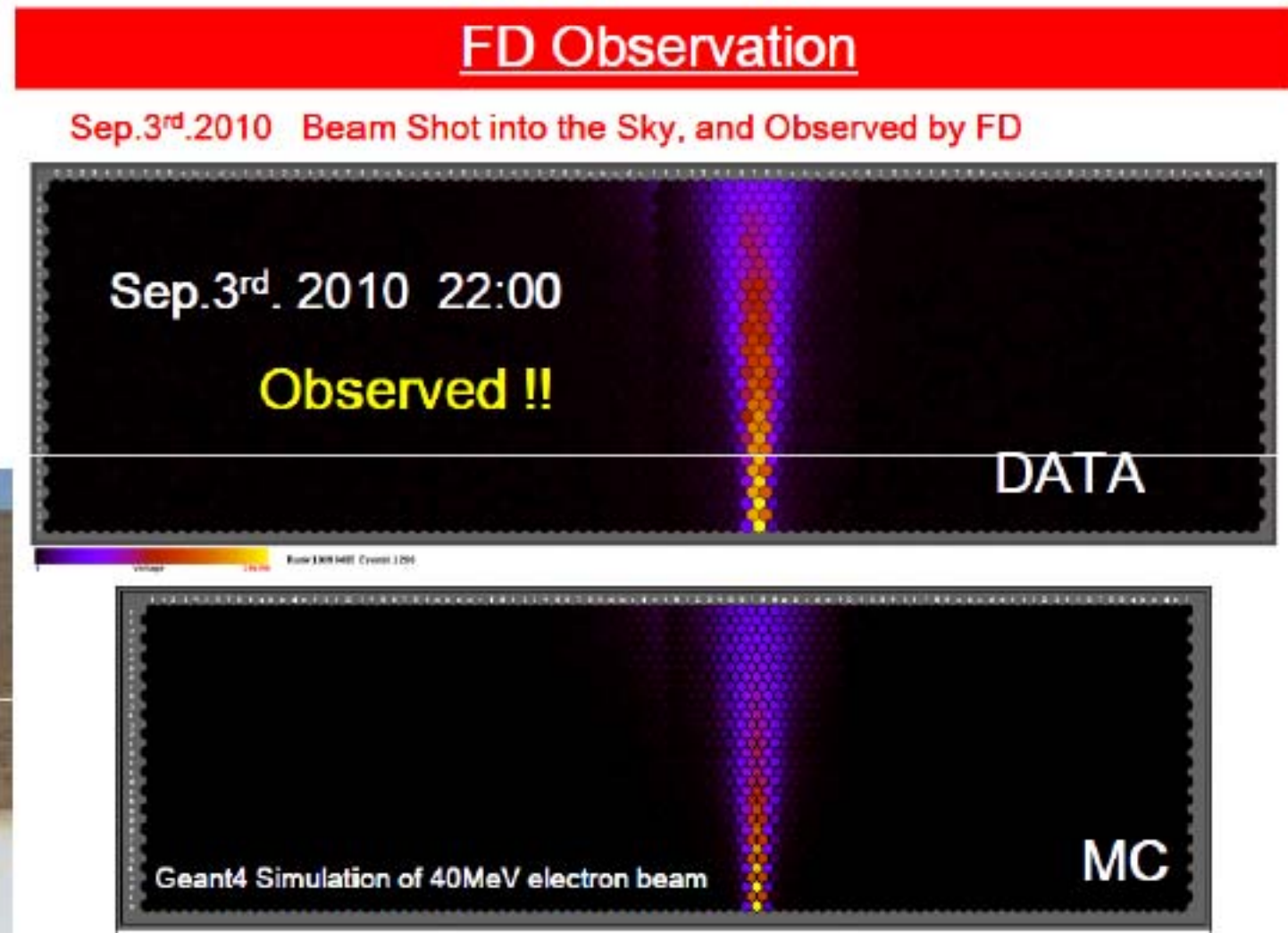
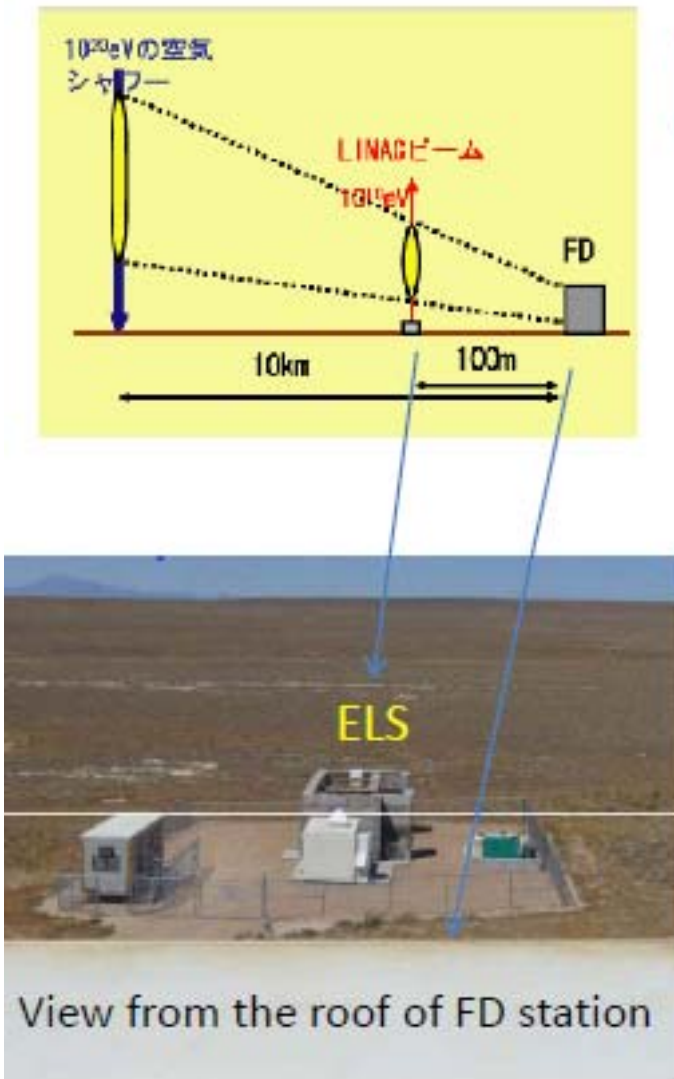
Fluorescence yield: 11%
Detector 10%
Atmosphere 11%
Reconstruction 10%
(include model dependence of missing energy)
Total 21%

TA,Auger HiRes の結果では Steepening は間違いなく起きている

電子ビームによる較正

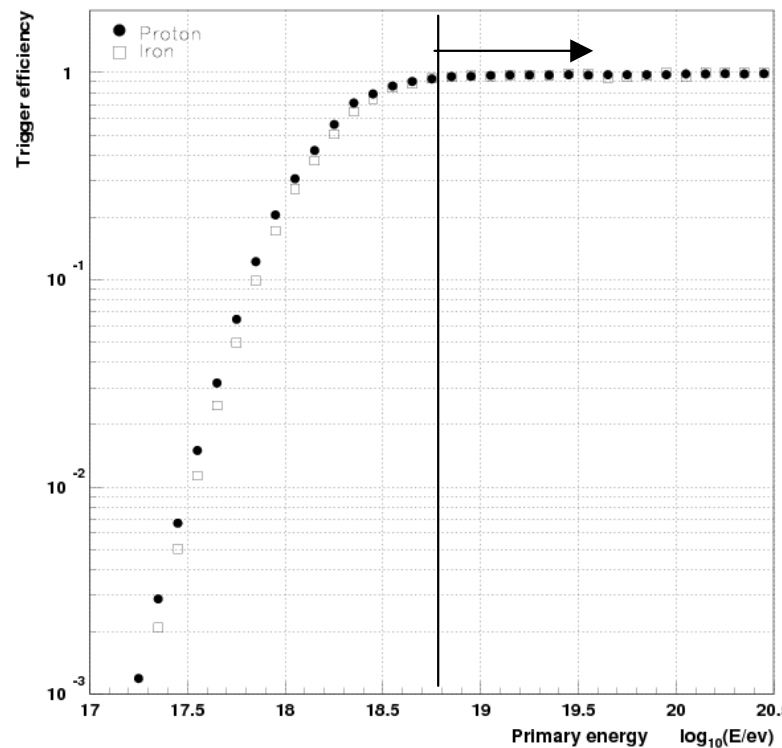
Electron Light Source

既知の量の~40MeVの電子を放出し、大気蛍光と望遠鏡の応答を較正
系統誤差の主要部分を較正することが可能。



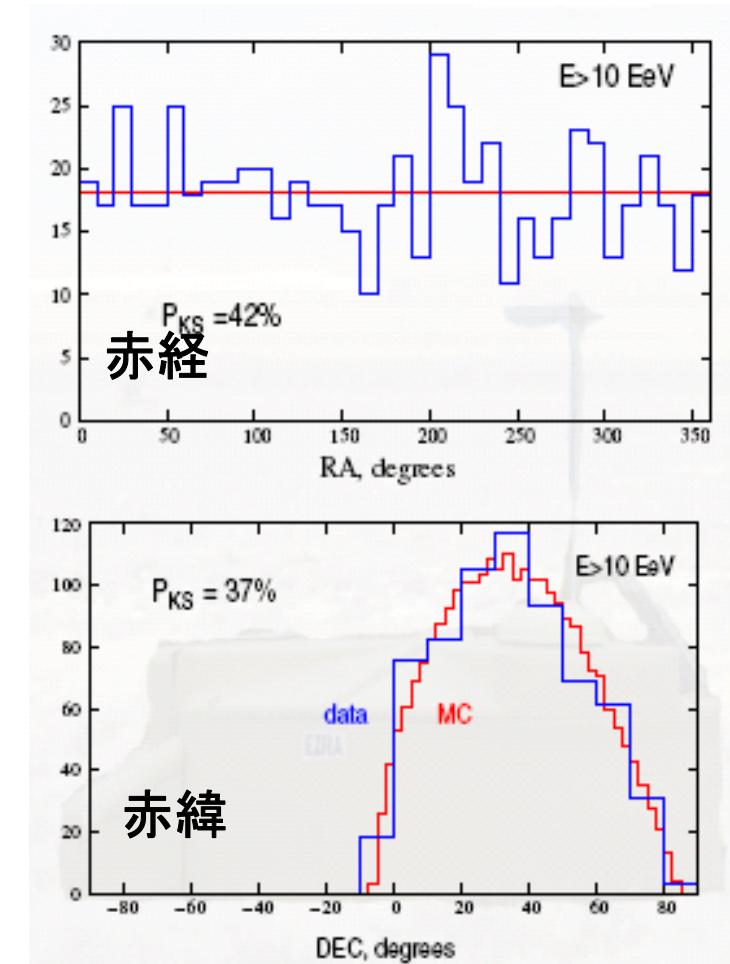
到来方向

異方性の探索にはSDのデータを用いる。 Duty Cycle~100%



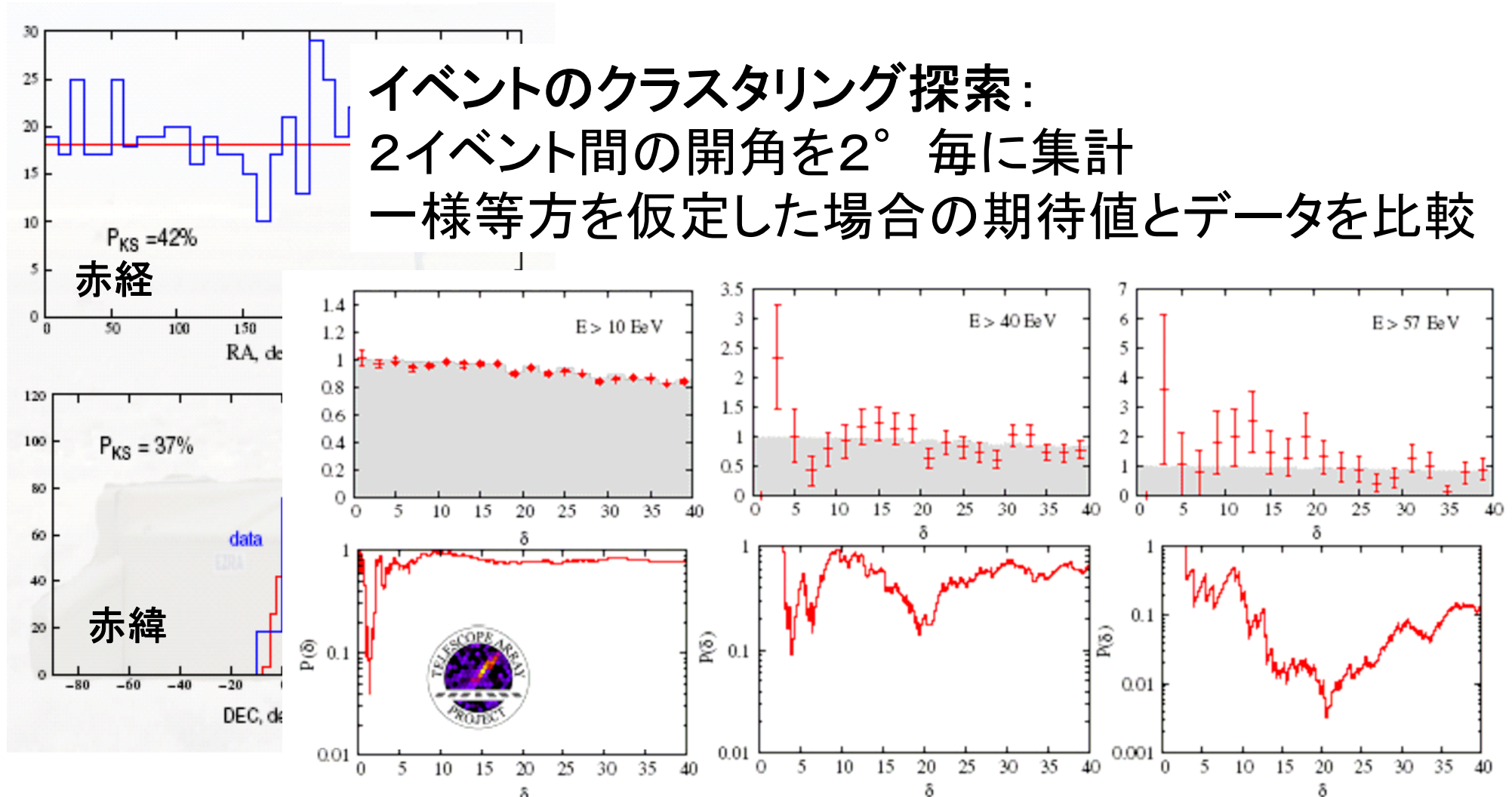
トリガー効率~100% @ $E > 10^{19}$ eV

一様に近い到来方向分布
 > 10 EeV



P.Tineacov et.al WG review of Anisotropy data
UHECR2012

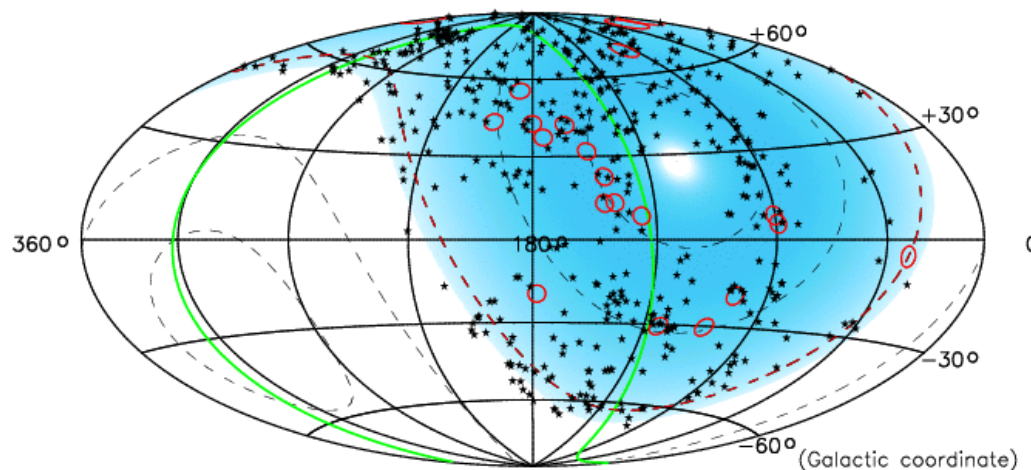
到来方向



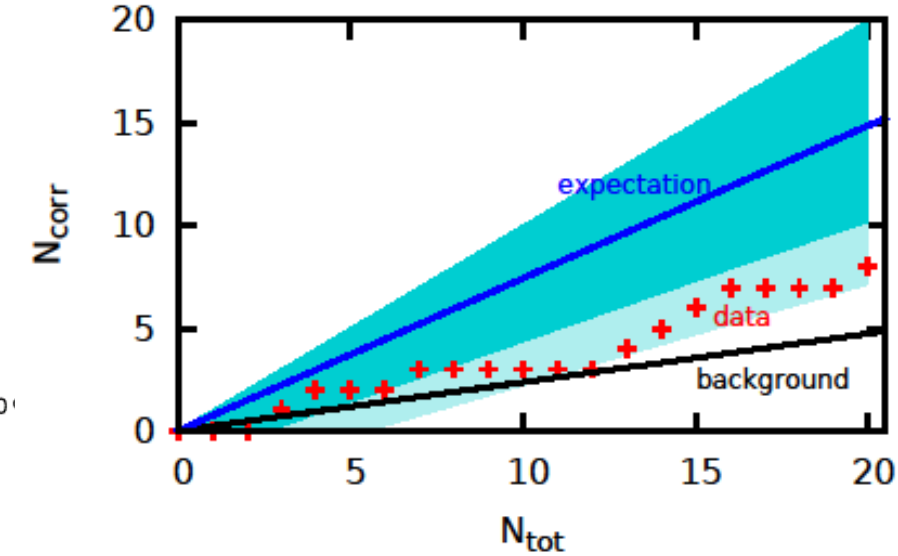
AGN との相関

$E > 57 \text{ EeV}$ 解析期間 2008/05/11 - 2011/05/01

20 event



In Veron AGN 12th in $Z_{\text{max}} = 0.018$,
295 AGNs in 3.1°



縦軸: AGNから 3.1° 以内に落ちたイベント数

横軸: 積算イベント数

Expectation:

Auger (Science 9 November 2007: 938-943.)に基づいて計算

Background:

等方分布と視野内のAGNから期待される
イベント数 (eventの73%)

Isotropic に到来している場合 に矛盾しない

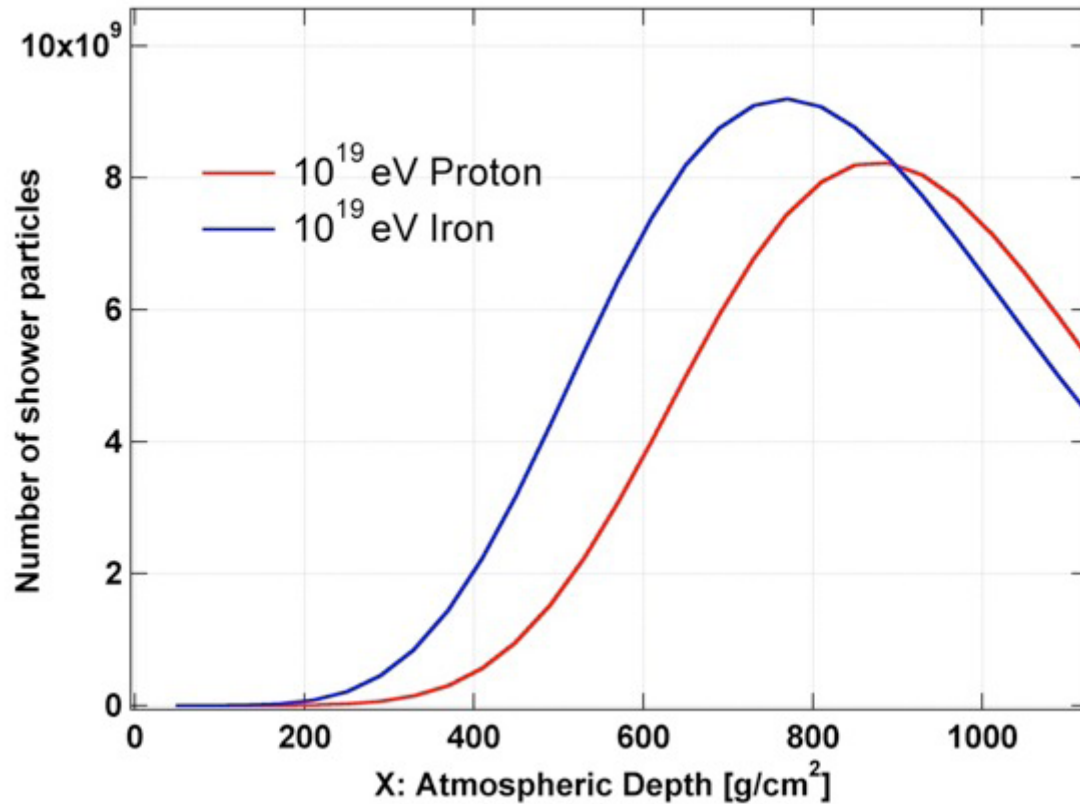
宇宙線化学組成

断面積: 鉄 > 陽子

核子あたりエネルギー: 鉄 < 陽子

→ 最大発達深さ (X_{max}):

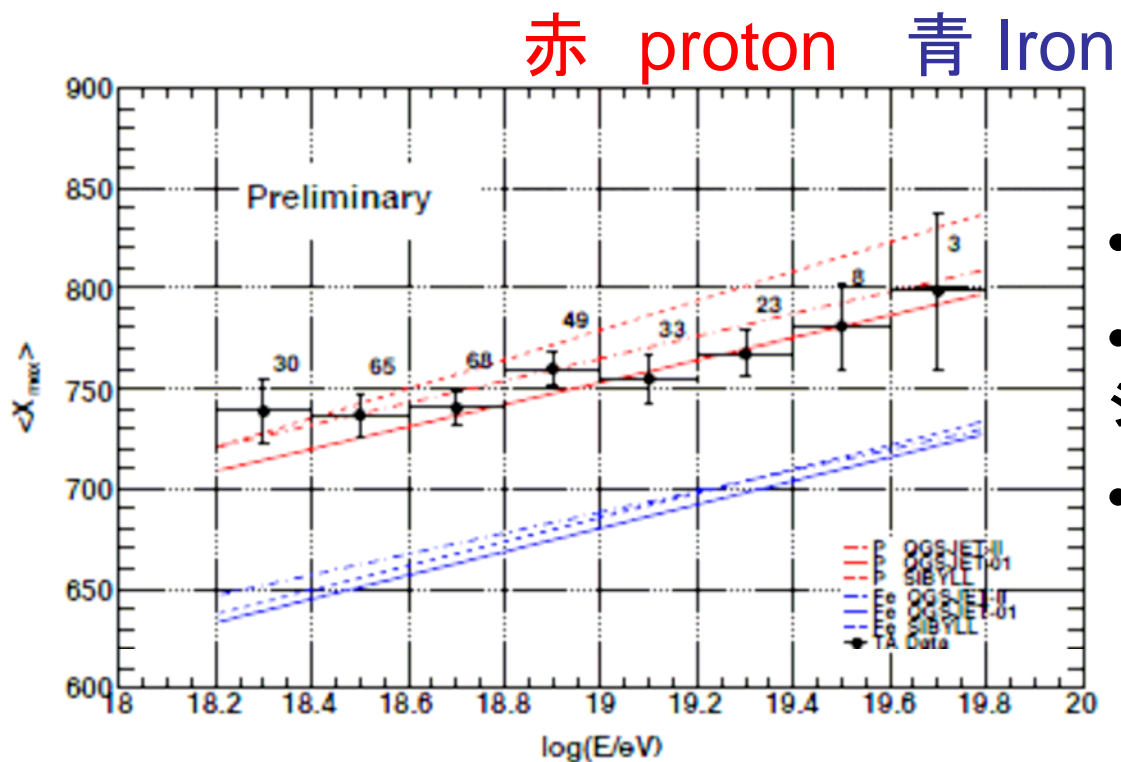
1st interaction, 発達のエネルギーの細分化が早く終わるため、同じエネルギーでは重い組成の方が浅くなる。



エネルギー毎に 分布の平均
をとって比較

宇宙線化学組成

組成別のモンテカルロ - イベント で得られる平均Xmaxを比較

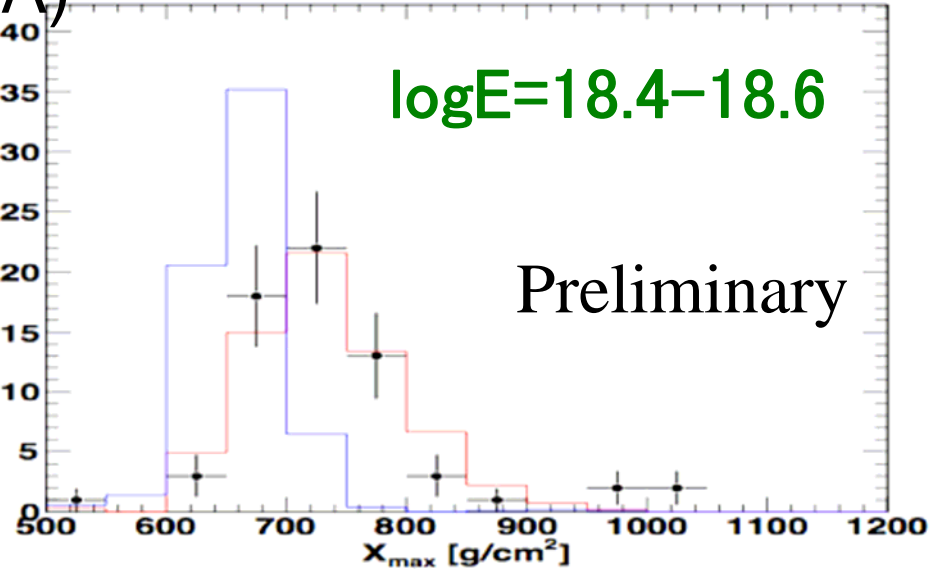


- Airshower simulation (CORSIKA)
- Full detector simulation, キャリブレーション
- MCとデータで同じ再構成手順

Y.Tameda et.al International Symposium on Future Directions in UHECR Physics
(<https://indico.cern.ch/conferenceDisplay.py?confId=152124>)

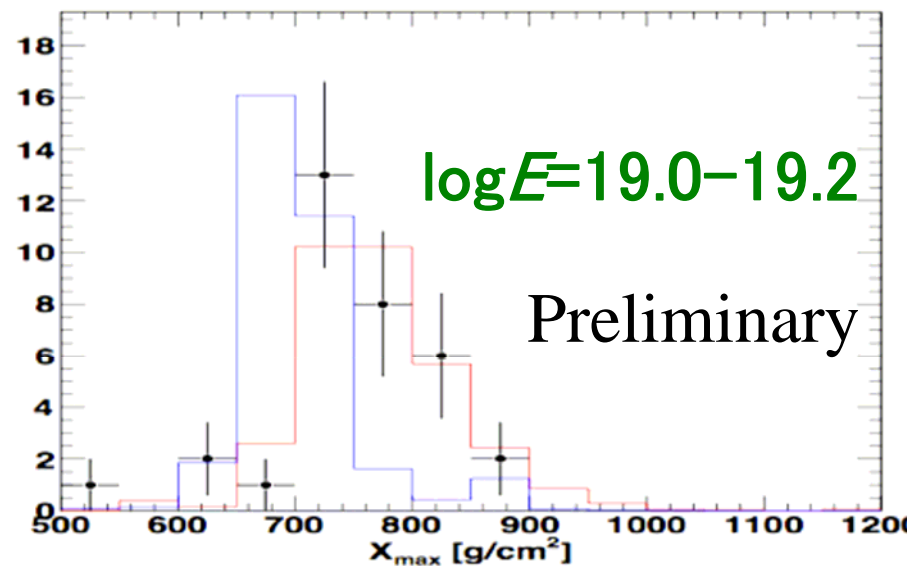
宇宙線化學組成

(TA)



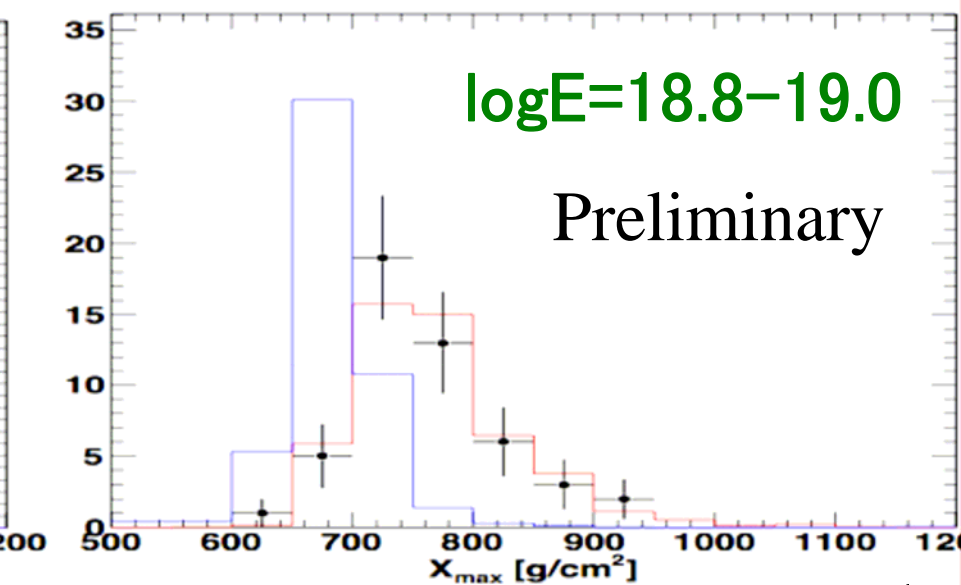
logE=18.4-18.6

Preliminary



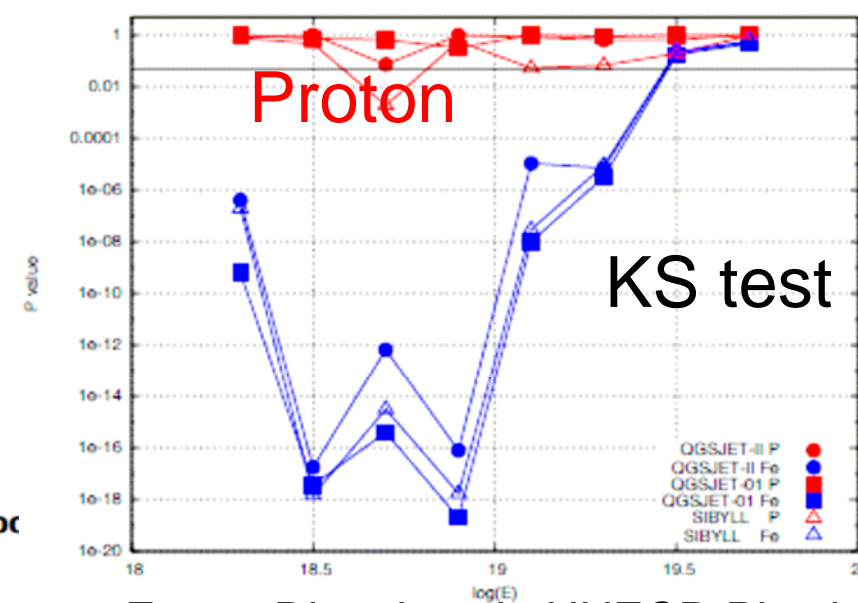
logE=19.0-19.2

Preliminary



logE=18.8-19.0

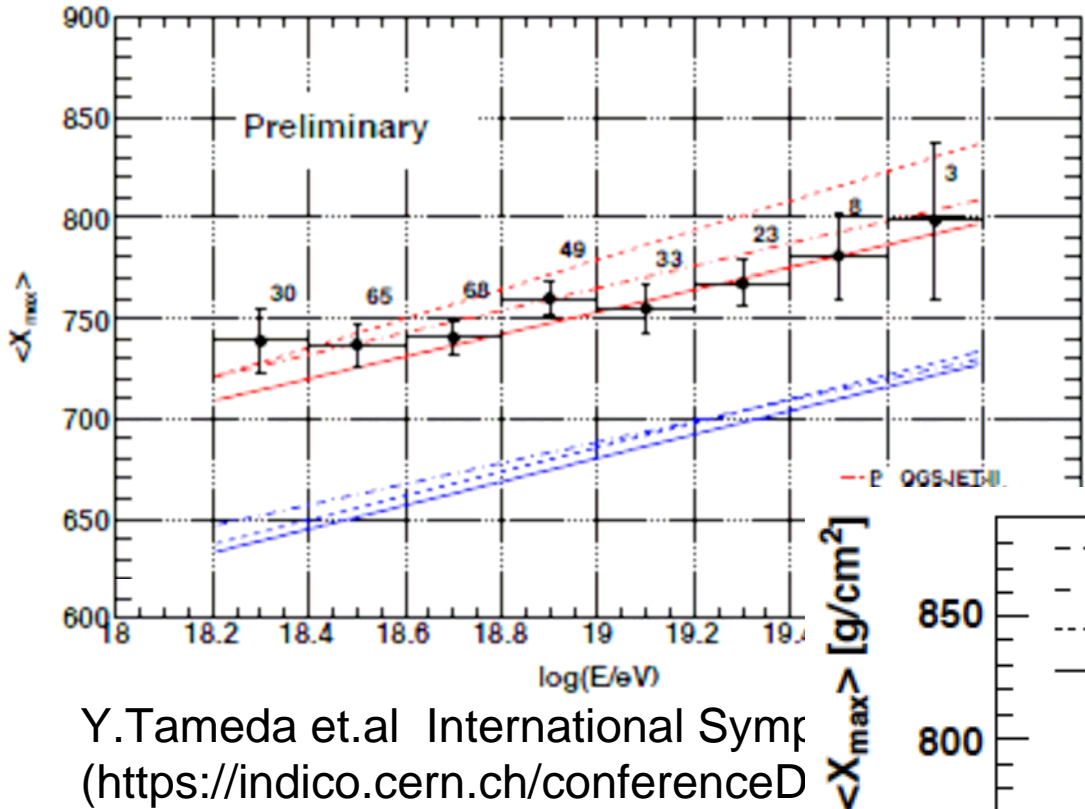
Preliminary



Proton

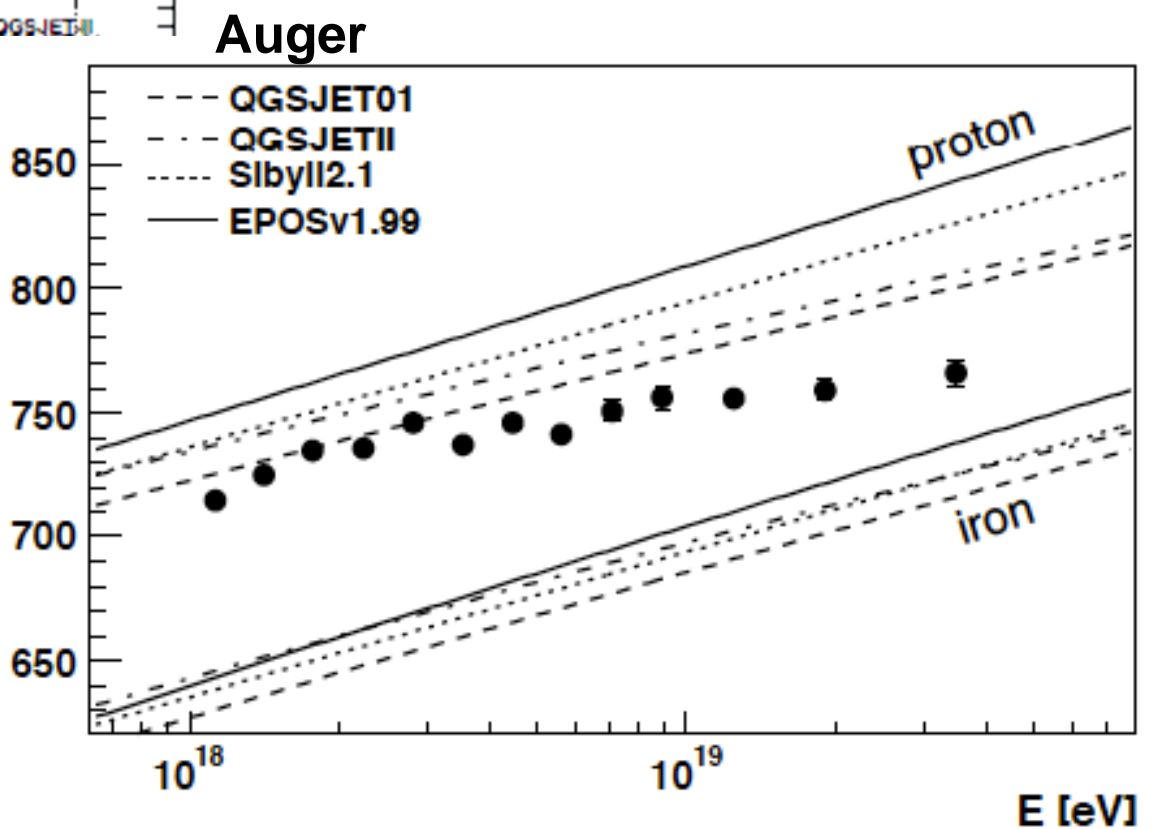
KS test

宇宙線化学組成



Y.Tamed et.al International Symp
(<https://indico.cern.ch/conferenceD>)

- Auger 実験とは高エネルギー側で相違。
- 実験を横断した WGが立ち上がり相互理解が始まっている。



宇宙線化学組成

TA:

統計的に言及できる $10^{19.5}$ eVより下のエネルギーでは陽子
HiResの結果と矛盾しない

Auger :

徐々に重い組成へ遷移

低エネルギー側:

10^{18} eV 付近で両実験共に陽子

重い原子核からの遷移が 18乗までに起きている。

→ TALE

高エネルギー側: 鉄か陽子かで何が変わってくるのか。

- 鉄ならスペクトルの減少 の意味が変わる。
陽子なら 減少は GZK cut off と矛盾しない
- 異方性にも影響 (鉄→ 磁場により方向をより失う)

現状、と展望

スペクトルの折れ曲がりは TA,HiRes Auger実験とともに確認

GZK効果 として期待されるエネルギー付近に存在
実験間の Energy 決定の系統誤差の解決が必要。
→ +“Electron Light Source”

組成に関して TA,HiRes とAuger との間では傾向が異なる

- Auger とTAでXmaxの定義が異なる。
- 南北半球の違い？

→ MCが実データをよく反映しているかどうか確認することが重要

現状、と展望

TA、Auger共に

局所的な異方性は見えていない。

大規模構造との相関は銀河磁場を考慮。

原因：大きな系外磁場、たくさんの宇宙線源？

→ 統計が必要。

より高エネルギーへ拡張することで
ソース候補の数を減らすことも有効

将来の検出器をどのようにするのか

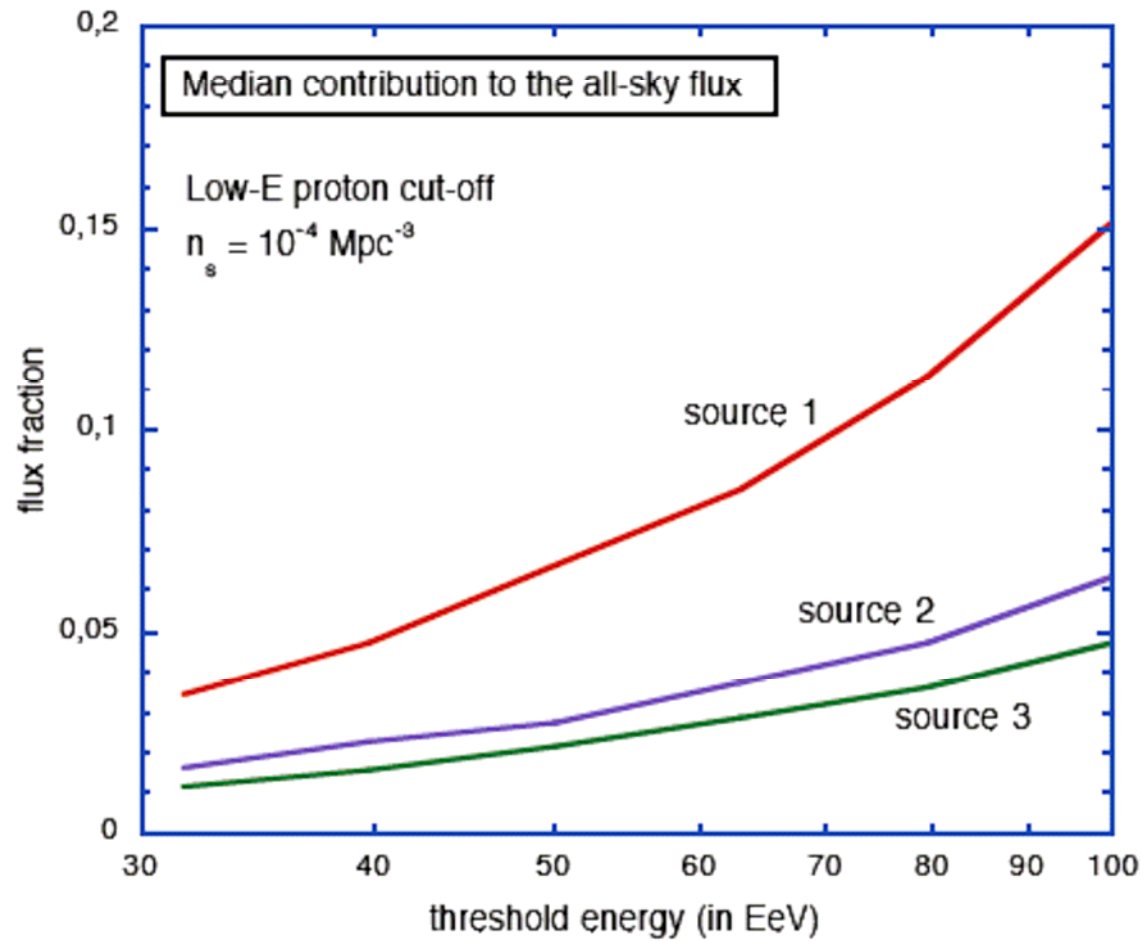
大規模地表アレイ

電波を使った観測、（マイクロ波、レーダーエコー）

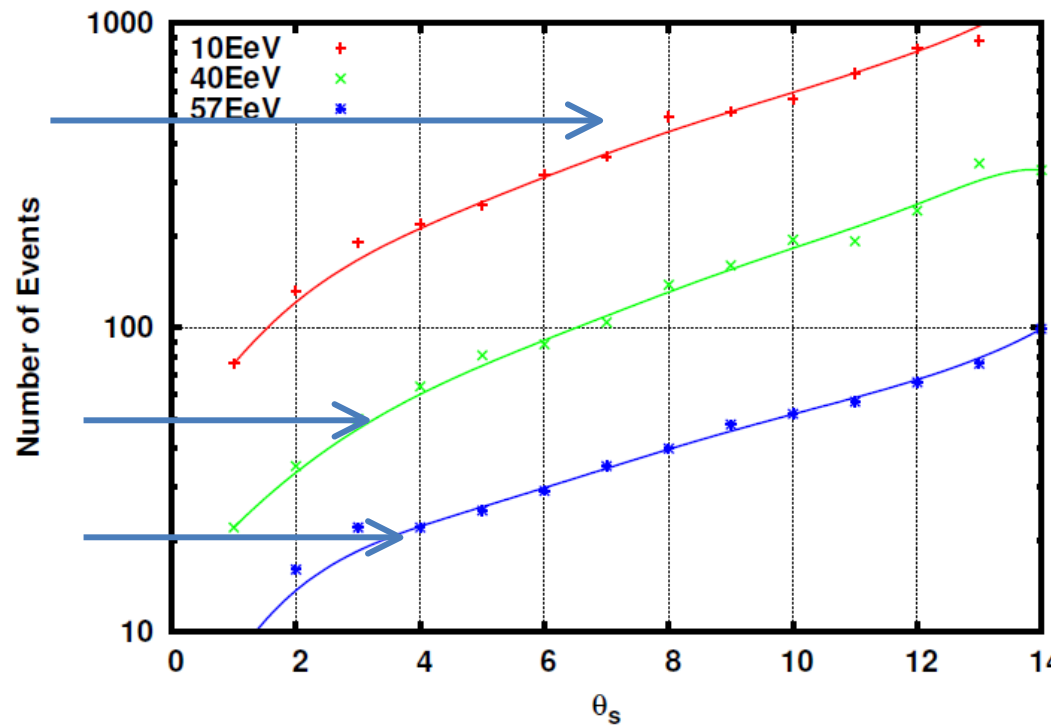
→ 今後はさらに国際間の協力が必要になりそう

Back Up

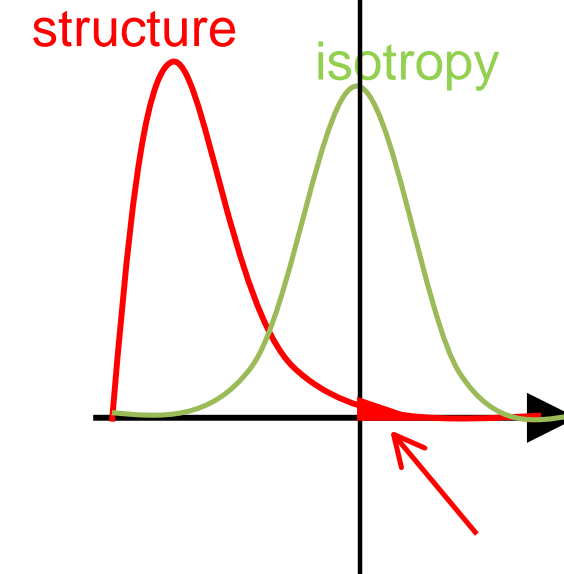
Single source contribution



Expected Discrimination Power



Typical data point
from isotropy



Number of events required for 50% probability to rule out a source distribution tracing the distribution of matter at 95% C.L. when the true distribution is isotropic.

5 % of
Structure
model